



UNIVERSIDADE FEDERAL DA PARAÍBA
CENTRO DE CIÊNCIAS EXATAS E DA NATUREZA

DEPARTAMENTO DE QUÍMICA

PROGRAMA DE PÓS-GRADUAÇÃO EM QUÍMICA

Dissertação de Mestrado

**Uma Estratégia de Validação Híbrida para
Calibração Multivariada Baseada na Seleção de
Amostras Fixadas pelo Algoritmo SPXY**



João Batista de Sousa Costa

João Pessoa - PB - Brasil

Junho/2021



UNIVERSIDADE FEDERAL DA PARAÍBA
CENTRO DE CIÊNCIAS EXATAS E DA NATUREZA

DEPARTAMENTO DE QUÍMICA

PROGRAMA DE PÓS-GRADUAÇÃO EM QUÍMICA

Dissertação de Mestrado

**Uma Estratégia de Validação Híbrida para Calibração
Multivariada Baseada na Seleção de Amostras
Fixadas pelo Algoritmo SPXY**

João Batista de Sousa Costa

Dissertação apresentada ao Programa de Pós-Graduação em Química da Universidade Federal da Paraíba como parte dos requisitos para obtenção do título de Mestre em Química, área de concentração Química Analítica.



Orientador: Prof. Dr. Edvan Cirino da Silva

João Pessoa - PB - Brasil

Junho/2021

**Catalogação na publicação
Seção de Catalogação e Classificação**

C838e Costa, João Batista de Sousa. Uma estratégia de validação híbrida de calibração multivariada baseada na seleção de amostras fixadas pelo algoritmo SPXY / João Batista de Sousa Costa. João Pessoa, 2021.

72 f. : il.

Orientação: Edvan Cirino da Silva.
Dissertação (Mestrado) - UFPB/CCEN.

1. Química - Validação cruzada. 2. Amostras fixadas. 3. SPXY. 4. Calibração multivariada. 5. MLR-APS. I. Silva, Edvan Cirino da. II. Título.

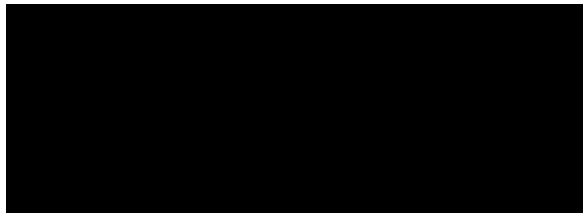
UFPB/BC

CDU 54(043)

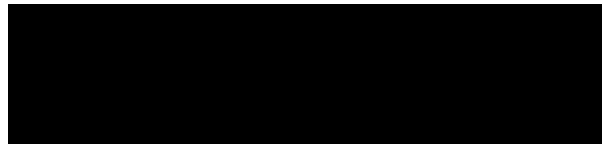
Elaborado por WALQUELINE DA SILVA ARAUJO - CRB-15/514

Uma estratégia de validação híbrida de calibração multivariada baseada na seleção de amostras fixadas pelo algoritmo SPXY.

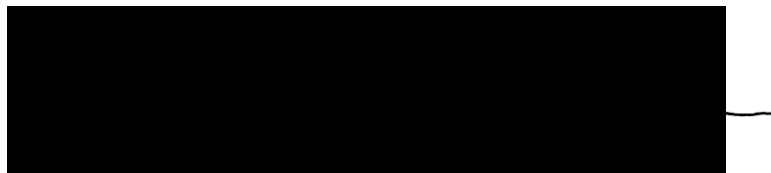
Dissertação de Mestrado apresentada pelo aluno **João Batista de Sousa Costa** e aprovada pela banca examinadora em 28 de junho de 2021.



Prof. Dr. Edvan Cirino da Silva
Departamento de Química-UFPB
Orientador/Presidente



Profa. Dra. Patrícia Kaori Soares
Escola de Ciências e Tecnologia-UFRN
Examinadora Externa



Prof. Dr. Ricardo Alexandre Cavalcanti de Lima
Departamento de Química-UFPB
Examinador Interno

*Aos meus pais, Francisco e Joana,
Meus irmãos, Diogenes, José Carlos, Djaciane e Denise
– também à minha noiva Jaqueline –,
com muito amor e carinho dedico*

Agradecimentos

- A Deus pelo dom da vida e por nos proporcionar as faculdades da consciência e do pensamento;
- A Alisson, Andre e Wallison, pela amizade e conversas divertidas ao longo de minha jornada no Mestrado;
- Ao professor Edvan Cirino da Silva, pela orientação, confiança e conselhos durante a inciação científica e mestrado;
- Ao Dr Sofáclles Figueiredo Carreiro Soares, pela fundamental ajuda na elaboração e implementação do código do algoritmo em Matlab;
- À familia LAQA que me acolheu de braços abertos;
- Ao professor Mario Cesar Ugulino de Araujo por me abrir as portas do LAQA;
- À turma da salinha de estudos, onde conheci pessoas incríveis e fiz amizades incríveis, essa dissertação tem a contribuição de cada um de vocês;
- Agradeço ao Instituto Nacional de Ciências e Tecnologias Analíticas Avançadas (INCTAA) pela aquisição do Software Matlab® com recursos do CNPq;
- À CAPES pela bolsa concedida;

SUMÁRIO

LISTA DE FIGURAS	iii
LISTA DE TABELAS	iv
LISTA DE ABREVIATURAS E SIGLAS	v
RESUMO.....	vi
ABSTRACT	vii

CAPÍTULO 1

1.0	INTRODUÇÃO	1
1.1	Caracterização da problemática.....	1
1.2	Objetivos.....	3
1.2.1	Objetivo geral.....	3
1.2.2	Objetivos específicos.....	3
1.3	Calibração multivariada.....	4
1.3.1	Análise das componentes principais(PCA).....	5
1.3.2	Regressão por componentes principais(PCR).....	6
1.3.4	Regressão linear multipla(MLR).....	9
1.3.5	Algoritmo de projeções sucessivas (APS).....	10
1.3.6	Métodos de validação.....	12
1.3.6.1	Validação por série de teste.....	12
1.3.6.2	Algoritmo KS.....	12
1.3.6.3	Algoritmo SPXY.....	15
1.3.6.4	Validação Bootstrap.....	15
1.3.6.5	Validação cruzada (CV).....	15
1.3.6.6	CVLOO.....	16
1.3.6.7	RSCV.....	16
1.3.6.8	Validação Híbrida.....	17

CAPÍTULO 2

2	METODOLOGIA.....	19
2.1	Conjunto de dados.....	19
2.2	Pré-processamento.....	19
2.2.1	Dados NIR de trigo.....	19
2.2.2	Dados NIR de milho.....	21
2.3	Algoritmo de validação cruzada híbrida.....	23
2.4	Funcionamento do algoritmo de validação híbrida.....	25
2.5	Uso espetrometria NIR para avaliação da estratégia proposta.....	28

CAPÍTULO 3

3	RESULTADOS E DISCUSSÃO.....	31
3.1	PLS Group-Out com seleção de amostras fixas.....	31
3.2	MLR-APS com seleção de amostras que serão fixadas.....	34

3.2.1	Dados de amostras de trigo.....	34
3.2.2	Análise de Scree plot.....	35
3.2.3	Valores preditos <i>versus</i> valores de referência.....	37
3.2.4	Dados NIR de amostras de milho.....	38
3.2.5	Análise de Scree plot.....	39
3.2.6	Valores preditos <i>versus</i> valores de referência.....	41
CAPÍTULO 4		
4.1	Conclusões.....	44
4.2	Perspectivas Futura.....	45
REFERÊNCIAS.....		46
APÊNDICE		54

Lista de Figuras

Figura 1.1. Representação Matriz de dados Instrumentais e da Representação Matriz de dados Padrão ou método de referência.....	5
Figura 1.2. Representação das projeções APS para J=5, Mcal=3 e k(0)=3 primeira interação k(1)=1.....	11
Figura 1.3. Visão geométrica da distância Euclidiana entre dois pontos p (x_{p1}, x_{p2}, x_{p3}) e q (x_{q1}, x_{q2}, x_{q3}).....	12
Figura 1.4. Ilustração da aplicação KS a um conjunto de seis amostras no espaço bidimensional das variáveis Var 1 e Var 2.....	14
Figura 1.5. Espaços cobertos pelas amostras (calibração e validação) selecionadas pelo algoritmo KS.....	14
Figura 2.1. Espectros das 107 amostras de trigo. a) Sem pré-processamento.b) Derivado e Suavizado Savitsk Golay com janela de 21 pontos.....	20
Figura 2.2. Espectros 80 amostras de milho.a) Sem pré-processamento.b) Derivado e Suavizado Savitsk Golay com janela de 21 pontos.....	22
Figura 2.3. Fluxograma do algoritmo de validação híbrida.....	24
Figura 2.4. Seleção de amostras fixas e CVLOO. a) seleção de amostras mais externas. b) Amostras de calibração e amostras mais externas selecionadas.. c) Amostras de calibração. d) Amostras deixadas de fora no processo CVLOO.....	26
Figura 2.5. Amostras selecionadas pelo SPXY.....	27
Figura 3.1. RMSECV amostras de trigo em função do número de amostras fixas.....	31
Figura 3.2. RMSECV amostras de milho em função do número de amostras fixas.....	33
Figura 3.3. Scree plot. a) Scree plot com zero amostras fixadas. b) Scree plot com quatro amostras fixadas.....	36
Figura 3.4. Valores preditos versus Valores de referência.a) Valores preditos versus Valores de referência com zero amostras fixadas. b) Valores preditos versus valores de referência com quatro amostras fixadas.....	37
Figura 3.5. Scree plot. a) Scree plot com zero amostras fixas adicionadas. b) Scree plot com doze amostras fixas adicionadas.	40
Figura 3.6. Valores preditos X Valores de referência.a) Valores preditos X Valores de referência com zero amostras fixas adicionadas. b) Valores preditos versus valores de referência com doze amostras fixadas.....	41

Lista de Tabelas

Tabela 3.1. Valores de RMSEP e RMSECV em relação ao número de amostras de trigo fixadas.....34

Tabela 3.2. Valores de RMSEP e RMSECV em relação ao número de amostras de milho fixadas.....39

Lista de Siglas e Abreviaturas

CV-Cross Validation (Validação Cruzada)

CVH- Hybrid Cross Validation (Validação Cruzada Híbrida)

CVLOO-Leave One Out Cross Validation (Validação Cruzada com uma amostra deixada de fora)

MLR- Multiple Linear Reression (Regressão Linear Multipla)

PCs-Principal Component (Componentes Principais)

PCA - Principal Component Analysis (Análise de Componentes Principais)

PCR - Principal Component Regression (Regressão de Componentes Principais)

PLS - Partial Least Square Regression (Regressão por Minimos Quadrados Parciais)

PRESS - Prediction Residual Error Sum of Squares (Somatório dos Quadrados dos Erros Residuais de Predição)

RMSECV - Raiz quadrada do Erro medio de Validação Cruzada

RMSEP - Raiz quadrada do Erro medio de Predição

RMSECV -Square Root Mean Square Cross Validation Error (Raiz quadrada do Erro Quadrático médio de Validação Cruzada).

RSCV - Cross Validation with Split of Representative Samples (Validação Cruzada com divisão de Amostras Representativas)

VLs - Variáveis Latentes

APS - Algoritmo de Projeções Sucessivas

SPXY- Sample set Partitioning based on joint x-y distances (Particionamento do conjunto de amostra com base nas distâncias x-y)

Resumo

Título:Uma Estratégia de Validação Híbrida para Calibração Multivariada Baseada na Seleção de Amostras Fixadas pelo Algoritmo SPXY

Autor: João Batista de Sousa Costa

Em análise multivariada, é usual deparar-se com o problema recorrente de particionar o conjunto de dados de modo a obter, para o subconjunto de calibração, as amostras mais representativas e que cubram a fronteira do espaço amostral de natureza multidimensional. O presente trabalho teve como objetivo desenvolver uma estratégia de validação híbrida para calibração multivariada (a exemplo da MLR-APS e do PLS group-out), a qual previne problemas de extração e proporciona modelos com maior capacidade preditiva e robustez. A estratégia propostautiliza o algoritmo SPXY para selecionar as amostras de fronteira do espaço experimental para a calibração eque sejamais representativaspor explorar a estatística de X (respostas instrumentais) e Y (parâmetro de interesse). Para avaliar seu desempenho, foram empregados dois conjuntos de dados de NIR. O primeiro envolve a análise de amostras detrito nas quaisfoi determinado o conteúdo de proteína; o segundo refere-se à determinação do teor de umidade em milho.Na validação híbridaaplicada à modelagem PLS grou-out, não foi possível avaliar a variabilidade do RMSEP em função do índice de amostras. Isso porque o mesmo não apresentava uma variabilidade significativa dos resultados para 20 execuções, impossibilitando uma melhor avaliação da estratégia proposta.Na modelagem MLR-APS, observou-se uma variabilidade em termos de RMSECV e RMSEP, tornando possível a avaliação da influência das amostras fixadas na capacidade preditiva dos modelos. Os modelos resultantes da fixação de amostras de fronteira na calibração apresentaram os maiores coeficientes de correlação, os quaisforam iguais a, respectivamente, 0,9996 e 0,9934 para o conjunto de dados de milho e de trigo. Os valores de RMSEP e RMSECV para os dois conjuntos apresentaram uma diminuição significativa. De fato, foram obtidos, repectivamente, os valores 0,194e 0,163% (m/m) para o conteúdo de proteína no trigo e 0,0121 e 0,0061% (m/m) para umidadenas amostras de milho. Um número de variáveis menor foi também obtido. A estratégia de validação híbrida é uma alternativa viável paracalibração multivariada, proporcionado modelosmais parcimoniosos e com maior robustez e capacidade preditiva.

Palavras-chave:Validação Cruzada; Amostras fixadas; SPXY; Calibração Multivariada; PLS;APS-MLR

Abstract

Title: **A Hybrid Validation Strategy for Multivariate Calibration Based on Fixed Sample Selection by SPXY Algorithm**

Autor: **João Batista de Sousa Costa**

In multivariate analysis, it is usual to come across the recurring problem of partitioning the dataset in order to obtain, for the calibration subset, the most representative samples that cover the boundary of the multidimensional sample space. The present work aimed to develop a hybrid validation strategy for multivariate calibration (such as MLR-APS and PLS group-out), which prevents extrapolation problems and provides models with greater predictive capacity and robustness. The proposed strategy uses the SPXY algorithm to select the experimental space boundary samples for calibration and which are more representative for exploring the statistics of X (instrumental responses) and Y (parameter of interest). To assess its performance, two sets of NIR reflectance data were used. The first involves the analysis of wheat samples in which the protein content has been determined; the second refers to the determination of the moisture content in corn. In the hybrid validation applied to the PLS group-out modeling, it was not possible to assess the variability of the RMSEP as a function of the sample index. This is because it did not present a significant variability of results for 20 executions, making it impossible to better evaluate the proposed strategy. In the MLR-APS modeling, a variability was observed in terms of RMSECV and RMSEP, making it possible to assess the influence of fixed samples on the predictive capacity of the models. The models resulting from the fixation of frontier samples in the calibration showed the highest correlation coefficients, which were equal to, respectively, 0.9996 and 0.9934 for the corn and wheat dataset. The values of RMSEP and RMSECV for the two sets showed a significant decrease. In fact, the values of 0.194 and 0.163 % (m/m) were obtained, respectively, for the protein content in wheat and 0.0121 and 0.0061 % (m/m) for moisture in the corn samples. A smaller number of variables was also obtained. The hybrid validation strategy is a viable alternative for multivariate calibration, providing more parsimonious models with greater robustness and predictive capacity.

Keywords: **Cross validation; Fixed samples, SPXY algorithm; Multivariate calibration; PLS; APS-MLR.**

CAPÍTULO 1

Introdução

INTRODUÇÃO

1.1 Caracterizando a problemática e a proposta de solução

A calibração multivariada é um processo matemático que tem sido implementado com sucesso nas determinações quantitativas de analitos em amostras com matrizes complexas, especialmente usando técnicas espectroanalíticas¹. Esse fato se deve, entre outras razões, ao problema recorrente de multicolinearidade entre as variáveis (comprimentos de onda) e de sobreposição de bandas de concomitantes sobre as do(s) analito(s) que podem ocorrer nos espectros UV-Vis, NIR, RMN, etc⁸⁸. Nesse cenário, a regressão linear múltipla (Multiple Linear Regression-MLR) e por mínimos quadrados parciais (Partial Least Squares-PLS) destacam-se entre as técnicas químicas usadas na calibração multivariada para superar esses problemas^{14,59,62}.

O uso consolidado do PLS em calibração multivariada pode ser atribuído à robustez e alta capacidade preditiva dos modelos⁵, como resultado da melhor correlação obtida entre as variáveis latentes associadas aos escores dos sinais e ao(s) parâmetro(s) de interesse. A regressão PLS possui a vantagem, quando comparada à técnica MLR, de permitir uma modelagem mais eficiente na presença de dados ruidosos e acentuada multicolinearidade entre as variáveis¹⁹. Além disso, permite implementar uma calibração multivariada envolvendo matrizes (no sentido matemático do termo) com alta dimensão¹⁹. Por outro lado, a técnica MLR tem a grande vantagem de operar no domínio original dos dados, gerando modelos de mais fácil compreensão e interpretação química dos resultados da predição⁷⁶. O modelo MLR atrelado à seleção de variáveis se mostrou mais adequado para avaliação da estratégia proposta, tendo em vista que o mesmo apresentou uma maior sensibilidade quando comparado ao modelo PLS.

Para a construção de um modelo MLR, é fundamental que os dados apresentem baixa multicolinearidade entre as variáveis associadas aos sinais analíticos espectrométricos e que a fronteira amostral seja delimitada (específico da estratégia proposta), tendo isso em vista o algoritmo SPXY é utilizado para seleção dessas amostras (amostras mais externas). De fato, as variáveis com expressiva multicolinearidade fornecem informação redundante que dificultam o cálculo matricial na regressão e na determinação da variância dos coeficientes, prejudicando a escolha dos coeficientes de regressão adequados para os modelos MLR^{76,78}. Os problemas de alta dimensionalidade e multicolinearidade podem também ser superados

dos mediante a seleção das variáveis que contenham informações úteis e não redundantes a fim de viabilizar a modelagem MLR e melhorar a robustez e capacidade preditiva dos modelos⁷⁸. Para esse propósito, pode-se recorrer aos algoritmos de seleção de variáveis⁸⁰.

Para seleção de variáveis usando técnicas determinísticas – que são interessantes, sobretudo, para a interpretação química dos resultados –, destaca-se o algoritmo das projeções sucessivas (APS) proposto por Araújo et al⁷⁸ para calibração MLR usando dados UV-Vis, por ser um método que permite a obtenção de apenas um subconjunto de variáveis e que não estão atreladas a probabilidade a priori, facilitando assim a compreensão do modelo⁷⁹. Posteriormente, o APS foi também utilizado para seleção de variáveis empregando dados espectrométricos NIR⁸⁴. Nesse trabalho, demonstrou-se que o APS proporciona as menores raízes quadradas de erros médios de previsão (RMSEP-Root Mean Square Error Prediction)⁷⁸ e menores raízes quadradas de erros médios de validação cruzada (RMSECV-Root Mean Square Error Cross validation)⁸⁰.

Em calibração multivariada via PLS, a validação cruzada (CV-Cross-validation) é o procedimento mais comumente usado para definir o número de componentes a serem definidos para o modelo^{15,16,38,40}. Muitas variantes de CV são utilizadas e a mais usual é a validação cruzada de exclusão única (CVLOO-Leave-one-out cross validation). Consiste na retirada de uma amostra por vez da calibração, cujo parâmetro de interesse deve ser predito^{15,16,40}. A CVLOO pode apresentar problema de extrapolação no modelo, o que acarreta um precária ou nenhuma capacidade preditiva^{7, 19,41}. Na literatura não foi relatada nenhuma estratégia quimiométrica para contornar esse problema – não apenas em calibração PLS, mas também para MLR combinada a técnicas de seleção de variáveis.

Em validação cruzada as amostras são selecionadas aleatoriamente, fato este que pode comprometer a sua significância para o conjunto de dados. O Algoritmo de validação cruzada com divisão representativa (RSCV- Representative Splitting Cross Validation), no qual um algoritmo seleciona as amostras mais representativas.

No presente trabalho, desenvolveu-se uma nova estratégia quimiométrica – denominada aqui “validação híbrida” – para a validação de modelos em calibração PLS e MLR. A validação híbrida proposta consiste na seleção, usando o algoritmo SPXY (Sample set Partitioning based on joint x-y distances)⁹, das amostras de fronteira (mais externas) do espaço experimental e as amostras restantes são selecionadas de maneira aleatória. Assim, é possível evitar o problema de extrapolação, melhorando a capacidade preditiva e robustez dos modelos. Para esse propósito, faz-se necessário que as amostras fixadas – além de garantirem a

cobertura na fronteira do espaço experimental (amostral) explorado – sejam estatisticamente representativas para o conjunto de dados original^{6,40}.

1.2. Objetivos

1.2.1. Objetivo geral

O objetivo central deste trabalho foi propor uma nova estratégia de validação híbrida para calibração multivariada baseada na seleção de amostras fixadas (na fronteira do espaço amostral), empregando-se o algoritmo SPXY. Com a aplicação dessa estratégia, objetivou-se minimizar problemas de extração e melhorar a capacidade preditiva e robustez dos modelos PLS e MLR-APS.

1.2.2. Objetivos específicos

- Desenvolver um algoritmo de validação híbrida que minimize problemas com extração dos modelos e melhore assim sua eficiência e robustez;
- Implementar e depurar o código-fonte, em ambiente computacional do software Matlab, do programa do algoritmo desenvolvido para a estratégia proposta;
- Estudar o comportamento do RMSEP e RMSECV ao se adicionar as amostras fixadas na modelagem PLS;
- Avaliar o comportamento do RMSEP e RMSECV ao se adicionar as amostras fixadas na modelagem MLR-APS;
- Melhorar a robustez dos modelos MLR-APS, determinando o número ótimo de variáveis selecionadas em calibração MLR-APS para os modelos com e sem adição de amostras fixadas pelo SPXY;
- Aplicar a estratégia proposta para o melhoramento da capacidade preditiva e robustez dos modelos PLS e MLR-APS de dados espectrométricos de milho e trigo, envolvendo matrizes com diferentes níveis de complexidade;
- Comparar o desempenho entre os modelos PLS e MLR-APS, ressaltando as características que foram melhoradas para cada tipo particular de calibração multivariada.

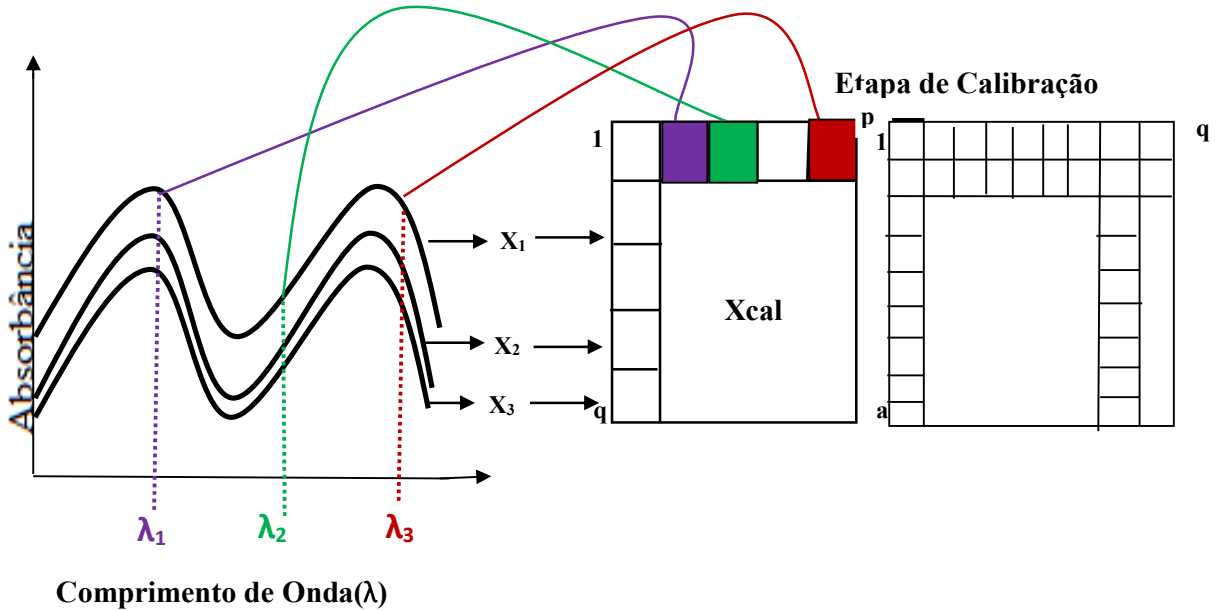
1.3 Calibração Multivariada

O uso da calibração multivariada tem sido impulsionado por suas vantagens (por exemplo, calibração na presença de interferentes, redução de custos e tempo de análise) na determinação do(s) analito(s) sem a necessidade de sua separação física da matriz das amostras. Nesse contexto, a obtenção de dados multivariados em análises espectrométricas – inclusive dados de segunda ordem, a exemplo dos obtidos em espectrofluorometria⁸⁹ – tem ensejado a utilização da calibração multivariada a fim de realizar a modelagem com sucesso.

Na implementação de uma calibração multivariada, várias respostas instrumentais podem ser relacionadas a uma ou mais propriedades de interesse nas amostras analisadas, empregando-se os métodos lineares e os não-lineares²³. Uma relação matemática (linear ou não) é estabelecida entre os resultados fornecidos por um método de referência – representados pela matriz \mathbf{Y} – e os dados da matriz \mathbf{X} obtidos nos espectros das amostras de calibração⁵⁷. Nesse processo, a calibração possibilita a determinação de todas as propriedades modeladas, desde de que as amostras com os interferentes sejam incluídas no conjunto de calibração¹².

Para implementar uma calibração multivariada – independentemente da técnica matemática (MLR ou PLS, por exemplo) utilizada –, faz-se necessário primeiro estruturar (organizar) os dados de acordo com o esquema ilustrado na **Figura 1.1**. Os dados (espectros, por exemplo) obtidos para as amostras do conjunto de calibração compõem a matriz \mathbf{X} ; os sinais correspondentes às variáveis (comprimentos de onda) para cada amostra são colocados em uma linha dessa matriz. Na matriz \mathbf{Y} , por outro lado, são lançados em uma linha o valor da(s) propriedade(s) de interesse para cada amostra. Assim, o papel da técnica de calibração usada é estabelecer um relação matemática adequada (em geral, linear) entre os dados de ambas as matrizes – diretamente no domínio original (como é o caso da MLR) ou no domínio dos dados transformados (a exemplo do PLS).

Figura 1.1. Representação Matriz de dados Instrumentais com p representando as variáveis da matriz X_{cal} e da Matriz de dados Padrão ou método de referênciacom q representando as variáveis da matriz Y_{cal} .



1.3.1 Análise de componentes principais

A análise de componentes principais (Principal Component Analysis-PCA) é uma técnica multivariada de compressão dos dados que permite reduzir a dimensionalidade do espaço sem a perda de informação útil. A transformação matemática leva a um novo sistema de eixos ortogonais – denominados de componentes principais (PCs) –, nos quais as coordenadas das amostras são os “escores” e os pesos das variáveis originais são chamados de “loadings”. Assim, essa técnica permite remover as informações redundantes dos dados o que permite contornar os problemas de multicolinearidade entre as variáveis originais das respostas instrumentais^{2,22,27,29}.

Nos espectros para um agrupamento de m amostras envolvendo n constituintes é registrado em k comprimentos de onda, podendo assim ser descrita na forma de matriz de dados espetrais $[X(m,k)]^{2,28}$. Essas matrizes são desmembradas em uma soma dos componentes principais (PCs) como pode ser observado na **Equação 1**.

$$X = t_1 p_1^t + t_2 p_2^t + t_3 p_3^t \dots + t_n p_n^t + E \quad (1)$$

Em termos matriciais, a Equação 1 toma a forma $\mathbf{X} = \mathbf{T} \mathbf{P}^T + \mathbf{E}$, sendo \mathbf{T} uma matriz com t colunas e \mathbf{P}^T com p^t linhas. Assim sendo, os vetores \mathbf{t}_n que são conhecidos como scores e indicam as relações existentes entre as amostras. A maneira como as variáveis estão relacionadas entre si, são representadas pelos vetores \mathbf{p}_n que são conhecidos como loadings. O \mathbf{E} é a matriz de resíduos, contendo informações não modeladas na primeira PC.

Em PCA, os autovalores e autovetores são obtidos da matriz de covariância \mathbf{X} que apresenta a [Equação 2](#).

$$\text{Cov}(\mathbf{X}) = \frac{\mathbf{X}^T \mathbf{X}}{N-1} \quad (2)$$

onde a covariância entre cada par de eixo é zero, mas os eixos principais não são correlacionados. Sendo N o número de amostras e $\mathbf{X}^T \mathbf{X}$ é a matriz de covariância.

As linhas da matriz \mathbf{P} são os autovalores de covariância em cada \mathbf{p}_i , tendo este relação de correspondência com uma parcela da variância, que é correlacionada com cada autovetor. Os autovetores tem autovalores relacionados a eles, e o autovetor de início é aquele que aponta para a maior diferença dos dados projetados no espaço de representação, o mesmo ocorre com todos os demais autovetores associados a demais autovalores⁶⁶.

Para realizar o cálculo dos vetores dos “loadings”, é feito o produto da matriz de covariância, para os vetores $|\mathbf{p}_i|$ da seguinte maneira.

$$\text{Cov}(\mathbf{X})\mathbf{p}_i = \sigma_i \mathbf{p}_i \quad (3)$$

No qual, σ_i é o i -ésimo autovalor correlacionado com o i -ésimo autovetor \mathbf{p}_i . Em PCA os autovetores devem explicar a maior variabilidade possível dos dados de forma a minimizar os resíduos em cada etapa, pois cada fator é responsável pela variância dos dados²².

A maneira como as amostras estão distribuídas em um eixo diferente do original é denominado scores, que pode ser representado pela [Equação 4](#).

$$\mathbf{X}\mathbf{p}_1 = \mathbf{t}_1 \quad (4)$$

onde \mathbf{X} é a matriz de respostas inicial e \mathbf{t}_1 é a projeção de \mathbf{X} sobre o autovetor inicial de \mathbf{P}_1 .

1.3.2. Regressão por componentes principais

O PCR é baseado na modelagem de fatores, uma vez que o fator pode ser entendido como uma combinação linear das variáveis originais possibilitando assim a redução da dimensionalidade dos dados e consequentemente a construção de gráficos que possam facilitar a visualização de agrupamento de amostras e de variáveis, permitindo assim diferenciar dados de amostras com alta influência^{25,29}. O modelo de regressão PCR pode ser compreendido por meio das [Equações 5](#) e [6](#).

$$\mathbf{X} = \mathbf{TP}^t + \mathbf{E} \quad (5)$$

$$\mathbf{y} = \mathbf{T}^t \mathbf{b} + \mathbf{f} \mathbf{X}^t \mathbf{X} \quad (6)$$

Os pesos (loadings), presentes na matriz \mathbf{P} , são encontrados ao escolher os primeiros autovetores de $\mathbf{X}^t \mathbf{X}$, no qual \mathbf{X} é a matriz de dados instrumentais centrados na média. A matriz \mathbf{T} , que representa as pontuações é obtida projetando a matriz \mathbf{X} no espaço da matriz transposta de \mathbf{P} ⁵⁶. A matriz de \mathbf{T}^t é utilizada como regressor junto com o vetor \mathbf{y} na equação do cálculo da distância de mahalanobis⁴³ como pode ser visto na [Equação 7](#).

$$D = (a_i - a_j)^t (\text{cov}(x)^{-1} (a_i - a_j))^{1/2} \quad (7)$$

A principal característica de um modelo PCR é o fato do mesmo considerar apenas as respostas obtidas pelo instrumento (\mathbf{X}), sem considerar as informações relevantes da concentração (\mathbf{y}), acarretando numa fragilidade do modelo, pois em dados onde a propriedade de interesse apresente um sinal muito pequeno e não causa forte influência nas primeiras PCs, podendo assim acarretar numa escolha de um maior de PCs para se construir o modelo⁶⁸.

1.3.3. Regressão por mínimos quadrados parciais(PLS)

Diferentemente do modelo PCR que não leva em consideração as estatísticas dos parâmetros de interesse (\mathbf{Y}) o PLS estabelece uma relação linear entre as matrizes de scores dos dados de \mathbf{X} e \mathbf{Y} ²².

A abordagem PLS (Partial Least Squares) possibilita a construção de uma boa modelagem mesmo na presença de ruídos experimentais, colinearidade e não-linearidade dos dados¹. Em uma matriz \mathbf{X} com G colunas, que correspondem ao sinal do espectro, para cada

comprimento de onda, e j linhas representando cada amostra. Na matriz \mathbf{Y} , tem-se H colunas, nas quais apresentam os parâmetros de interesse (densidade), e n linhas referentes a cada amostra⁶⁵. Em modelagem PLS as variáveis latentes sofrem pequenas rotações para que os scores \mathbf{t} e \mathbf{u} apresentem o melhor comportamento possível e que assim possam descrever as relações existentes entre \mathbf{X} e \mathbf{Y} ^{29, 55}.

As matrizes \mathbf{X} e \mathbf{Y} são divididas em uma soma de matrizes menores chamadas componentes principais ou variáveis latentes que são responsáveis por mostrar o grau de complexidade do modelo^{2, 67, 69}. A decomposição dessas matrizes, propicia uma soma dessas matrizes menores geradas, conhecidas como componentes principais (PCs), podendo ser compreendida pelas [Equações 8 e 9](#).

$$\mathbf{X} = \mathbf{T}\mathbf{P}^t + \mathbf{E} = \mathbf{t}_1\mathbf{P}_1^t + \mathbf{t}_2\mathbf{P}_2^t + \mathbf{t}_3\mathbf{P}_3^t \dots \dots \mathbf{t}_n\mathbf{P}_n^t + \mathbf{E} \quad (8)$$

$$\mathbf{Y} = \mathbf{U} + \mathbf{Q}^t + \mathbf{F} = \mathbf{u}_1\mathbf{q}_1^t + \mathbf{u}_2\mathbf{q}_2^t + \mathbf{u}_3\mathbf{q}_3^t \dots \dots \mathbf{u}_n\mathbf{q}_n^t + \mathbf{F} \quad (9)$$

onde as matrizes \mathbf{T} e \mathbf{U} são as respectivas matrizes de scores de \mathbf{X} e \mathbf{Y} e os loadings são representados pelas matrizes \mathbf{P}^t e \mathbf{Q}^t , a parte dos dados não modelados vai estar presente nas matrizes de resíduos \mathbf{E} e \mathbf{F} .

A modelagem PLS procura maximizar a covariância entre as variáveis das matrizes de dados reais e instrumentais²⁶, como pode ser visto pela [Equação 10](#).

$$\text{Cov}(\widehat{\mathbf{Y}}\mathbf{q}_a, \widehat{\mathbf{X}}\mathbf{r}_a) = \mathbf{q}_a^T \frac{\widehat{\mathbf{Y}}^T \mathbf{X}}{n-1} \mathbf{r}_a = \mathbf{q}_a^T \mathbf{S}_{yx} \quad (10)$$

Após a decomposição das matrizes de dados \mathbf{X} e \mathbf{Y} respectivamente, as novas matrizes obtidas (scores \mathbf{T} e \mathbf{U}), são relacionadas por meio de um modelo linear como pode ser visualizado na Equação 11.

$$\mathbf{U} = \mathbf{b}^* \mathbf{T} \quad (11)$$

onde \mathbf{b} é o vetor do coeficiente de regressão que estabelece a melhor relação entre os dados previstos pelo modelo e os dados obtidos por um método de referência e assim obter um modelo bem ajustado. Para uma determinação apropriada de \mathbf{b} , faz-se necessário a seleção do

número adequado de VLs e a detecção e exclusão de amostras com outliers(amostras anômalas)²⁴.

Uma das maneiras de se avaliar a performance preditiva de um modelo PLS é usando a soma dos quadrados dos erros de previsão (PRESS)²⁻⁴, que é expresso [Equação 12](#).

$$\text{PRESS} = \sum_{i=1}^m \sum_{j=1}^n (C_{ij} - \hat{C}_{ij})^2 \quad (12)$$

onde m são as amostras e n os parâmetros de interesse, C_{ij} são as concentrações obtidas por método padrão (amostras reais) e \hat{C}_{ij} são as previstas pelo modelo de calibração.

[1.3.3.1\(PLS group-out\)](#)

Na estratégia PLS-group-out grupos de amostras são deixadas de fora durante o processo de validação cruzada, reduzindo assim o número de vezes que se recalcula o modelo⁹⁰. Os n-grupos de amostras de calibração são utilizados para prever n-grupos de validação⁹⁰, o procedimento continua até que os grupos de amostras de calibração sejam incluídas no grupo das amostras de validação.

[1.3.4 Regressão linear múltipla\(MLR\)](#)

A modelagem MLR é bastante utilizada em problemas envolvendo a calibração multivariada, pois ela estabelece uma relação simples entre as variáveis do conjunto de dados de partida⁷⁵. Nesta modelagem tem-se uma matriz X e um vetor y , onde cada variável é descrita como sendo uma combinação linear das variáveis da matriz X ⁷⁵. A combinação linear descrita pode ser observada na [Equação 13](#).

$$y = \beta_0 + \beta_1 x_1 + \cdots + \beta_k x_k + \varepsilon \quad (13)$$

na qual β_0, β_1 e β_k são os valores obtidos pela regressão e ε é a parte do erro não modelado.

Os coeficientes β_0, β_1 e β_k podem ser obtidos de forma aproximada através da pseudo inversa como veremos na [Equação 14](#).

$$\boldsymbol{\beta} = (\mathbf{X}^T \mathbf{X})^{-1} \mathbf{X}^T \quad (14)$$

Os coeficientes após a sua obtenção, são utilizados para encontrar as variáveis estimadas no pelo como pode ser visto na **Equação 15**.

$$\hat{\mathbf{y}} = \mathbf{X}\boldsymbol{\beta} \quad (15)$$

onde \mathbf{X} e $\boldsymbol{\beta}$ são as matrizes de, respectivamente, variáveis independentes e coeficientes de regressão.

A regressão linear múltipla(MLR) atua no espaço original dos dados e por isso fornecem modelos mais inteligíveis e de fácil interpretação⁷⁶. Para uma modelagem MLRadequada,se faz necessário a escolha adequada das variáveis espectrais de modo a evitar a escolha de variáveis muito colineares no conjunto de dados que prejudiquem a modelagem^{76,77}.

1.3.5 Algoritmo das projeções sucessivas

Quando se tem um grande número de variáveis, algumas podem apresentar informação redundante entre si e, consequentemente, adiciona informação de pouca utilidade para a modelagem⁷⁶. Em matrizes de dados com alta dimensão, a calibração MLR se torna inviável, em virtude da presença de variáveis colineares no conjunto de dados, sendo necessário a utilização um método de seleção de variáveis para obtenção de modelos mais robustos^{76,78}.

Ao longo dos anos, muitos algoritmos para seleção de variáveis foram desenvolvidos, dentre os quais cabe destacar o Algoritmo de Projeções Sucessivas⁷⁹, que busca selecionar as variáveis com menor correlação possível com as variáveis preliminarmente selecionadas. O APS utiliza manipulações simples em espaços vetoriais que diminuem a possibilidade de inserção de variáveis com informação irrelevante para a modelagem^{77,78,79}.

O APS funciona da seguinte maneira:

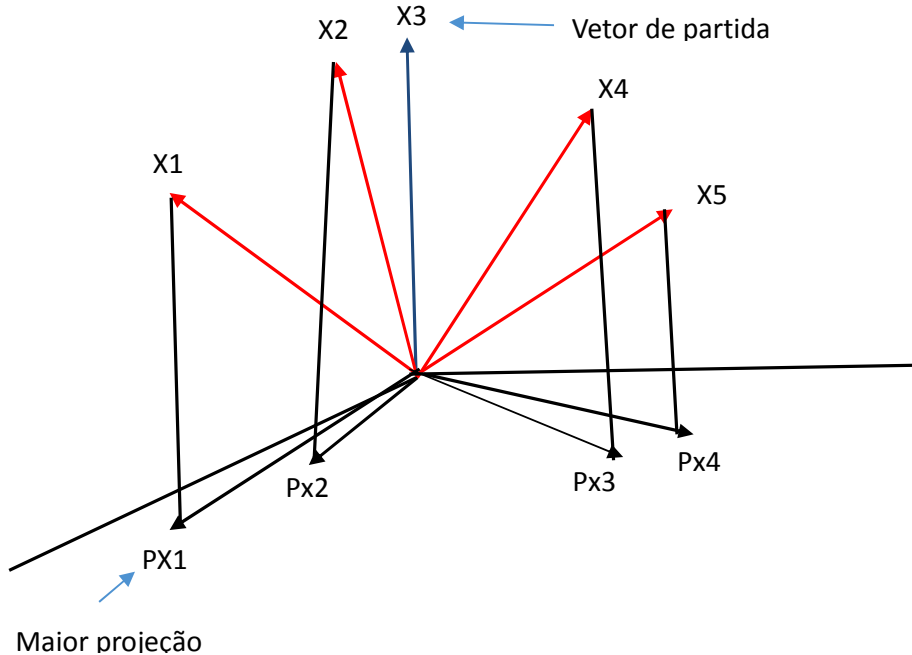
Etapa 1 -Na primeira etapa, a matriz de dados original é utilizada para obter-se uma série de variáveis com a menor correlação possível;

Etapa 2 -Durante a segunda etapa, as cadeias de variáveis são testadas de modo a avaliar sua correlação com a propriedade de interesse em termos de menor RMSEP na modelagem MLR;

Etapa 3 -A terceira etapa consiste na retirada de variáveis, que não proporcionam melhora significativa do erro do RMSEP. Essa retirada é feita com base em testes estatísticos de significância tal como o teste F.

As projeções usadas na abordagem APS podem ser melhor compreendidas com o auxílio da na **Figura 1.2** para o caso em que $J=5$ e $M_{cal}=3$, onde J é o número de variáveis de partida e M_{cal} é o número de amostras de calibração. Os valores de k representam os vetores selecionados para o cálculo das projeções ortogonais ao valor correspondente de k . Um vetor de partida(X_3) é selecionado, e os demais vetores tem suas projeções calculadas em um espaço ortogonal ao vetor de partida. Os vetores com as maiores projeções ortogonais ao vetor de partida são selecionadas.

Figura 1.2. Representação das projeções APS para $J=5$, $M_{cal}=3$ e $k(0)=3$. Primeira interação: $k(1)=1$.



Na **Figura 1.2**, pode-se observar como as variáveis são escolhidas pelo algoritmo APS levando em consideração suas projeções espaciais. Inicialmente uma variável X_3 é selecionada e as demais variáveis tem suas projeções calculadas. As variáveis selecionadas posteriormente,são aquelas que apresentam a maior ortogonalidade em relação a variável de partida, fato este que diminui a correlação entre estas variáveis^{76,77}.

O conjunto de variáveis que apresentar o menor erro médio quadrático de previsão(RMSEP) na modelagem MLR serão selecionadas^{76,77}.

O RMSEP para essa modelagem pode ser calculado de acordo com a **Equação 16**.

$$\text{RMSEP} = \sqrt{\frac{1}{M} \sum_{m=1}^M (y_m - y_{\text{ref}(m)})^2} \quad (16)$$

onde M denota as amostras de calibração, y_m as amostras preditas pelo modelo e $y_{\text{ref}(m)}$ contém valores obtidos por método de referência.

1.3.6. Métodos de validação

O uso de algoritmos que possibilitem dividir o conjunto de dados original em subconjuntos independentes e que as amostras selecionadas sejam as mais representativas possíveis se tornou cada vez mais comum em calibração multivariada, tendo em vista que uma representação inadequada dos dados pode gerar modelos com precária capacidade preditiva. Muitos métodos de validação são usados atualmente, tais como: Validação por série de teste, Validação bootstrap e Validação cruzada⁷⁰. Cabe salientar nesses tipos de validação a forma como as amostras para construção do modelo são selecionadas. Na validação por serie de teste as amostras são selecionadas via algoritmos baseados em distância euclidiana, tais como (KS, SPXY, etc)⁶⁰. A validação bootstrap utiliza o método de reamostragem com reposição. Para a validação cruzada as amostras são selecionadas de maneira aleatoria.

1.3.6.1 Validação por série de teste

Na validação de um modelo de calibração por série de teste, a divisão dos conjuntos de calibração e validação é realizada, utilizando-se algoritmos que selecionam as amostras de maior representatividade no conjunto amostral⁷¹, a exemplo do KS e SPXY descritos a seguir.

1.3.6.2 Algoritmo KS

O algoritmo Kennard-Stone (KS)⁸ utiliza a distância Euclidiana, $d_x(p,q)$, entre dois pontos “p eq”, correspondentes a 2 (duas) amostras no espaço multidimensional das variáveis, com o objetivo de determinar as amostras que se encontram mais distâncias entre si. A **Figura 1.3** ilustra como essa distância é visualizada, geometricamente, para o caso particular de três variáveis (Var 1: x_1 , Var 2: x_2 e Var 3: x_3), cujo espaço correspondente é o tridimensional. Nesse caso, a distância $d_x(p,q)$ é dada pela **Equação 17**.

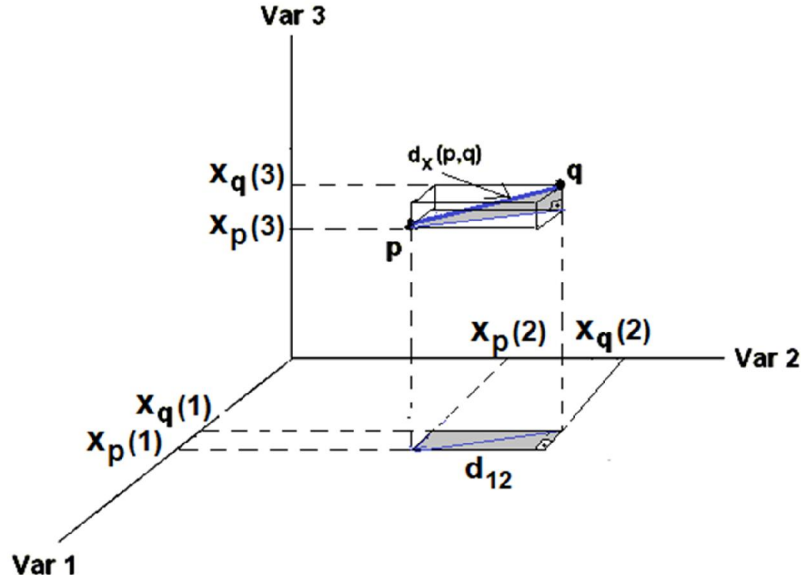
$$d_x(p,q) = \sqrt{[x_p(1) - x_q(1)]^2 + [x_p(2) - x_q(2)]^2 + [x_p(3) - x_q(3)]^2} \quad (17)$$

Para um espaço multidimensional com J dimensões, a distância Euclidiana $d_x(p,q)$ é dada pela **Equação 18**.

$$d_x(p, q) = \sqrt{\sum_{j=1}^J [x_{p(j)} - x_{q(j)}]^2} \quad p \text{ e } q \in [1; N] \quad (18)$$

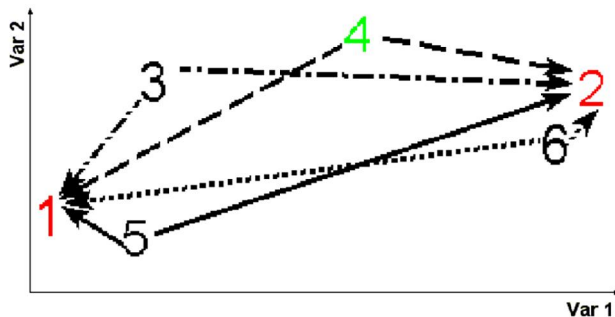
onde $x_{p(j)}$ e $x_{q(j)}$ são as respostas instrumentais (sinais nos espectros) para amostras p e q nos j -ésimos comprimentos de onda dos espectros.

Figura 1.3. Visão geométrica da distância Euclidiana entre dois pontos p (x_{p1}, x_{p2}, x_{p3}) e q (x_{q1}, x_{q2}, x_{q3}).



Na **Figura 1.4**, ilustra-se o princípio de funcionamento do algoritmo Kennard-Stone considerando o caso de um conjunto de seis amostras que se encontram localizadas no espaço bidimensional de duas variáveis **Var 1** e **Var 2**. Primeiramente, o KS determina o par de amostras que tenham a maior distância entre $d_{x(p,q)}$ encontrada usando a **Equação 18** para $J = 2$. Nesse exemplo, as amostras **1** e **2** são as mais distantes entre si. Em seguida, o algoritmo determina – entre as amostras remanescentes – as que se encontram mais próximas de **1** ou **2** e seleciona a mais distante. Nesse caso, a amostra **4** é selecionada nesse passo. Esse processo é repetido até que um certo número N de amostras, usado como critério de parada, seja alcançado. Quando $N = 3$, o KS seleciona as amostras selecionadas: **1**, **2** e **4**; para $N = 4$, as amostras **1**, **2**, **4** e **3** são selecionadas e assim por diante.

Figura 1.4. Ilustração da aplicação KS a um conjunto de seis amostras no espaço bidimensional das variáveis Var 1 e Var 2.



Como resultado da aplicação do KS, as primeiras amostras selecionadas – cujo número N é estabelecido *a priori* – são usadas para compor o subconjunto de calibração e as restantes do conjunto total compõem o subconjunto de validação. Com isso, assegura-se que as amostras de calibração serão sempre as mais externas e cobrirão a fronteira do espaço, conforme ilustrado na **Figura 1.5**.

Figura 1.5. Espaços cobertos pelas amostras (calibração e validação) selecionadas pelo algoritmo KS.



O algoritmo apresenta algumas limitações, por exemplo, o fato de não levar em consideração a estatística da matriz \mathbf{Y} que são os parâmetros de interesse. Assim, o KS não leva em consideração a variabilidade decorrente de mudanças de composição na matriz⁴⁷ que se refletem nos parâmetros de interesse. Para levar em conta esse fato – assim como a estatística de \mathbf{Y} no processo de busca das amostras mais distantes entre si –, desenvolveu-se o algoritmo SPXY descrito na [Seção 1.3.6.3](#).

1.3.6.3 Algoritmo SPXY

O SPXY é uma variante do algoritmo KS, mas difere no que diz respeito a inclusão da estatística de **Y** no seu princípio de funcionamento. As distâncias $d_x(p,q)$ e $d_y(p,q)$, são medidas levando-se em consideração as relações existentes em **X** e em **Y** no cálculo da distância inter-amostras. Assim,

$$d_{xy}(p, q) = \frac{d_x(p, q)}{\max_{p,q \in [1,N]} d_x(p, q)} + \frac{d_y(p, q)}{\max_{p,q \in [1,N]} d_y(p, q)} ; p, q \in [1, N] \quad (19)$$

Visando garantir que a distribuição das amostras no espaço de **X** e **Y** tenham mesma importância, fze-se necessário dividir as distâncias $d_x(p,q)$ e $d_y(p,q)$ pelos seus valores máximos no conjunto amostral obtendo-se assim uma distância d_{xy} normalizada⁹.

1.3.6.4 Validação Bootstrap

O Bootstrap é uma técnica de reamostragem, sendo assim é possível fazer inferências a cerca da distribuição das observações a partir da disposição dos dados experimentais⁴². Ao se utilizar esse método é possível estimar o seu limite de confiança, com a intenção de fazer deduções a cerca das propriedades em análise^{42,44}.

A reamostragem com reposição(Bootstrap) possibilita a obtenção de distintos conjuntos de amostra⁴⁵. Esta técnica pode ser utilizada nos mais diversos problemas, podendo ser utilizado nas mais diversas situações, pois independem da disposição inicial da estatística das propriedades em avaliação⁴².

1.3.6.5 Validação cruzada

Em calibração PLS (Partial Least Squares), é de fundamental importância escolher um número ideal de variáveis latentes, que determina complexidade do modelo^{5,58}. A escolha do número inapropriado de VLs , pode acarretar uma perda significativa na robustez do modelo e consequentemente afetar a sua capacidade preditiva^{6,63}. A escolha de um número maior de variáveis latentes pode aumentar o ruído e causar problemas de sobreajuste, no qual os dados de calibração são bem ajustados, mas não apresentam desempenho satisfatório na predição de amostras desconhecidas⁸³. Um número menor de variáveis latentes escolhido, pode acarretar problemas de sub-ajustes, devido a não inclusão de informação relevante do conjunto de dados, gerando modelos de calibração mal ajustados⁸³. A validação cruzada é o método mais comumente usado para definir o número de componentes escolhidas para um modelo^{15,16,38,39}. Na CV os dados treinamento são divididos em subconjuntos de calibração e validação¹⁷.

1.3.6.6 Validação cruzada de exclusão única

Em modelagem PLS a escolha do número ideal de VLs é de suma importância, tendo em vista que os modelos baseados em projeções geram resultados que não condizem com os dados observados experimentalmente e por isso carecem de ajustes para evitar o overfitting⁴⁹. A validação cruzada é o metodo mais comum quando se pretende determinar o número ideal de VLs⁶⁴.

A CVLOO (Leave-one-out Cross validation) é uma dos métodos mais utlizados de se fazer uma validação cruzada, neste metodo uma das amostras fica de fora do conjunto de calibração para depois ser predita, o procedimento é repetido até que todas as amostras tenham ficado pelo menos uma vez fora do conjunto de calibração^{46,48,49}. Após todas as amostras passarem por esta mesma estratégia, uma raiz quadrada do erro médio de validação cruzada (RMSECV) é calculado para cada uma das VL utilizadas⁴⁹, como pode ser visualizado na **Equação 19**.

$$\text{RMSECV} = \sqrt{\frac{\sum (y_p - y_e)^2}{n}} \quad (19)$$

na qual y_p é o valor de concentração previsto pelo modelo, y_e o resultado esperado e n é a quantidade de amostras do conjunto de calibração.

1.3.6.7 Validação cruzada de divisão representativa

Quando se constroi e valida modelos em calibração multivariada é de fundamental importância que os conjuntos de calibração e validação sejam significativos para o conjunto de dados original^{5,39,54}. Em validação cruzada a divisão do conjunto de dados original é normalmente feita de maneira randômica e a determinação da quantidade de VLs geralmente varia de acordo com a abordagem CV utilizada na construção do modelo^{5,35,50}.

O RSCV(Representative Splitting Cross Validation) é um novo método de CV no qual a divisão dos dados em calibração e validação é feita utilizando um algortimo de seleção de amostras e não mais de maneira randômica como em CVs mais convencionais⁵.

Nessa nova abordagem, o algoritmo DUPLEX é usado para dividir em partes iguais o conjunto de calibração de partida e assim fazer uma combinação dos valores de uma serie de CVs K-fold⁵. Para avaliar a performance da nova estrategia os CVs fundamentados na partição

dos dados DUPLEX são utilizados para determinar o RMSE associado de RSCV como observado na **Equação 20**.

$$\text{RMSECV} = \sqrt{\frac{1}{4 \times n} \sum_{i=1}^4 \sum_{j=1}^n (y_{ij} - \hat{y}_{ij})^2} \quad (20)$$

sendo \hat{y}_{ij} e y_{ij} os resultados previstos e de referência dos j -ésimos objetos da validação e i -ésima ($i = 1, 2, 3, 4$) k-fold ($k = 2, 4, 8, 16$) CV.

1.3.6.8 Validação Híbrida

A validação híbrida é uma estratégia de validação cruzada na qual as amostras mais externas são selecionadas e as restantes são divididas de forma randômica em conjuntos de calibração e predição. O algoritmo SPXY é utilizado para selecionar as amostras mais externas, visando a garantir que toda a variabilidade do conjunto de amostras esteja dentro dos limites de observação dos dados.

À medida que as amostras selecionadas vão sendo fixadas, as fronteiras de calibração são delimitadas e problemas com extrapolação do modelo – que ocorre quando amostras são preditas além dos limites de observação do conjunto amostral – são minimizados. A escolha de amostras mais representativas para o conjunto de dados, possibilita a construção de modelos mais robustos e com melhor capacidade preditiva.

Os resultado de RMSECV para cada processo de validação cruzada, a medida que amostras vão sendo fixadas, foi utilizado como uma das metrícias para avaliação das estratégias propostas como pode ser visualizado na **Equação 21**.

$$\text{RMSECV} = \sqrt{\frac{\sum (y_p - y_e)^2}{n-a}} \quad (21)$$

na qual “ y_p ” é o valor predito pelo modelo, “ y_e ” o valor de referência e “ n ” é o número de amostras do conjunto de calibração e “ a ” é o número de amostras fixadas.

CAPÍTULO 2

Metodología

2. METODOLOGIA

2.1. Conjuntos de dados

No presente trabalho, foram utilizados dois conjuntos de dados NIR(Near infrared) que são de domínio público e disponíveis na Internet. O primeiro conjunto (<http://www.idrc-chambersburg.org/shootout.html>) consiste dos dados de 107 amostras de trigo, cujos espectros NIR foram registrados na faixa 1100-2500 nm com uma resolução de 2nm⁷². A propriedade alvo do estudo compreende o teor de proteína, que varia de 9,7 a 14,4% (w/w). A determinação do conteúdo de proteína em amostras de trigo é de fundamental importância para a indústria de produção de farinha de trigo. As proteínas presentes nesses grãos apresentam uma grande capacidade de formar glútem, que durante o processo de fermentação em pães e massas é o responsável por reter as moléculas de dióxido de carbono e favorecer o crescimento da massa.

No segundo conjunto (<http://software.eigenvector.com/Data/Corn/index.htm>), têm-se os dados de 80 amostras de milho, no qual seus espectros NIR foram adquiridos num intervalo de 1100-2498nm com intervalos de 2nm. O parâmetro de interesse empregados nesse estudo foi umidade. O teor de umidade em amostras de milho é um parâmetro fundamental para determinar as melhores condições de armazenagem do grão. Esse teor deve ser bem definido, pois o mesmo vai garantir a qualidade do grão durante a estocagem.

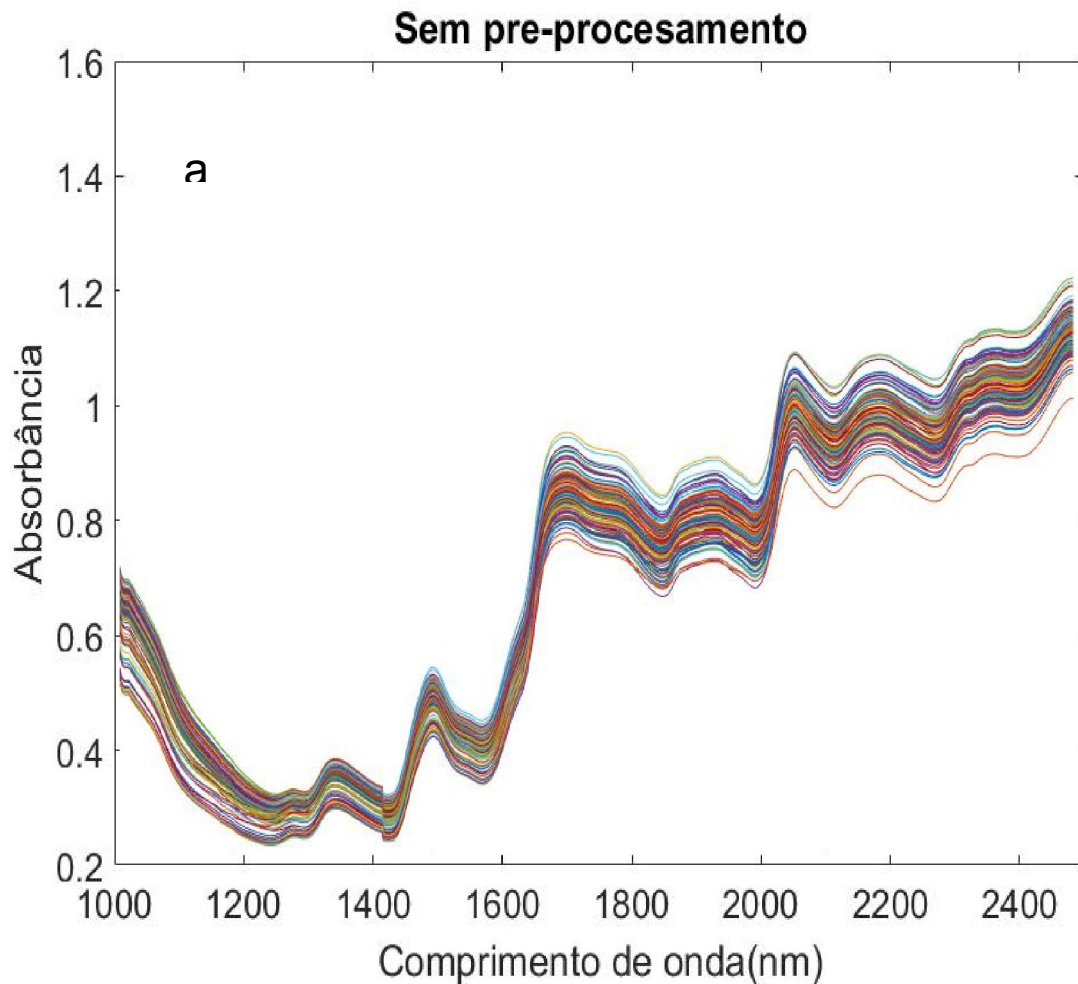
2.2. Pré-processamento

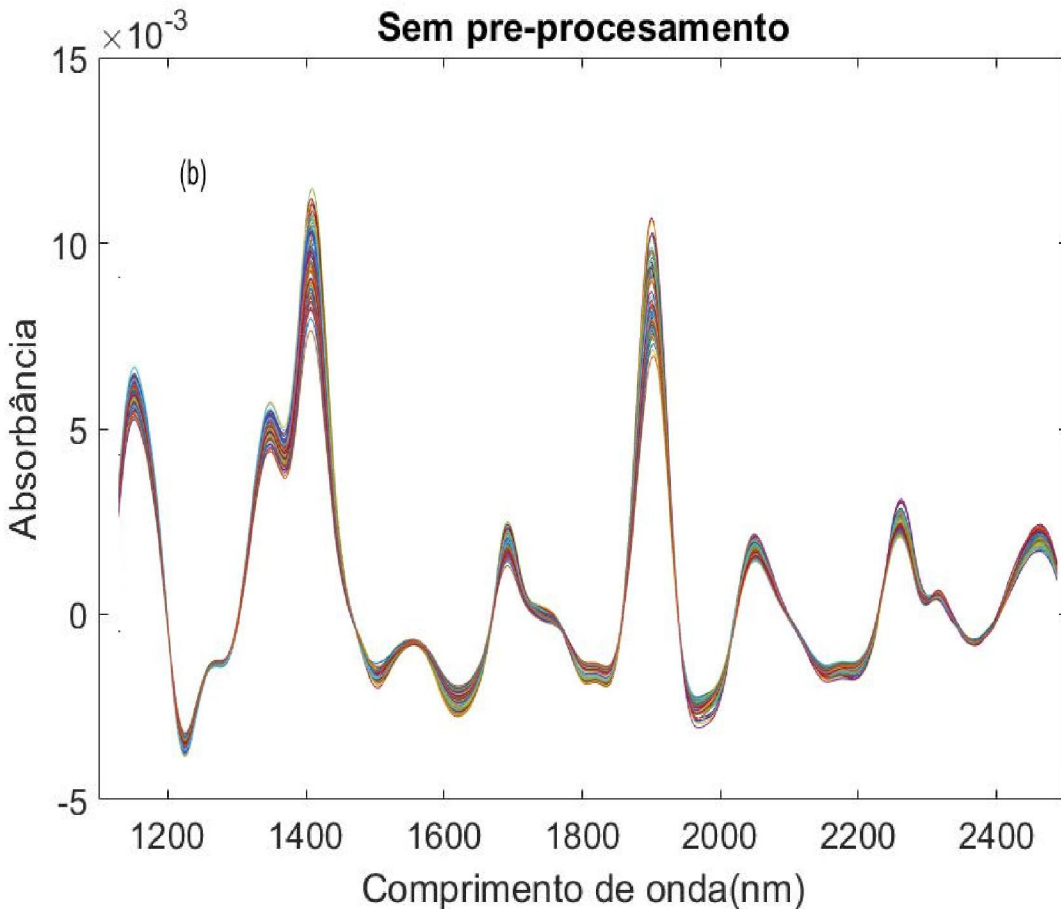
2.2.1 Dados NIR de trigo

Na análise da **Figura 2.1** para os dados da matriz “trigo”, pode-se observar que a região de 1000-1100 não apresenta informação útil para a modelagem (sem resposta na região para a propriedade de interesse), portanto essa região que compreende um total de 50 variáveis foram retiradas, restando 700 variáveis para a construção do modelo. A **Figura 2.1a** os espectros brutos das 107 amostras de trigo são apresentados e pode-se observar que além de regiões não informativas, também observa-se pequenas mudanças na linha de base (variações sistemáticas que não apresentam relação com a propriedade em investigação, mas que podem afetar o modelo caso não sejam retiradas⁷³). Em virtude do óbice apresentado, preferiu-se por utilizar os espectros derivados gerados

após a aplicação do filtro Savitsky-Golay com polinômio de 2^aordem e janela de 21 pontos⁷⁴, restando 680 variáveis para cada amostra como pode ser visualizado na **Figura 2.1b**, que serviu como base para os cálculos realizados. A janela de 17 pontos⁷³, foi selecionada em um trabalho anterior como sendo o número ideal de pontos para o conjunto de dados em análise, mas para a estratégia proposta a janela com 21 pontos foi a escolhida, pois apresenta espectros menos ruidosos e por proporcionar melhores resultados RMSECV e RMSEP durante a construção do modelo de calibração.

Figura 2.1. Espectro de 107 amostras de trigo. (a) Sem pré-processamento. (b) Derivados e Suavizados Savitsk Golay com janela de 21 pontos





O conjunto de dados foi dividido da seguinte maneira: 12 amostras foram retiradas com o auxílio do algoritmo SPXY⁹(amostras que permanecerão fixas e serão adicionadas durante a etapa de calibração) em PLS e 16 para abordagem MLR-APS, e as amostras remanescentes foram divididas de forma randômica em calibração 75% (71 amostras) e predição 25% (24 amostras).

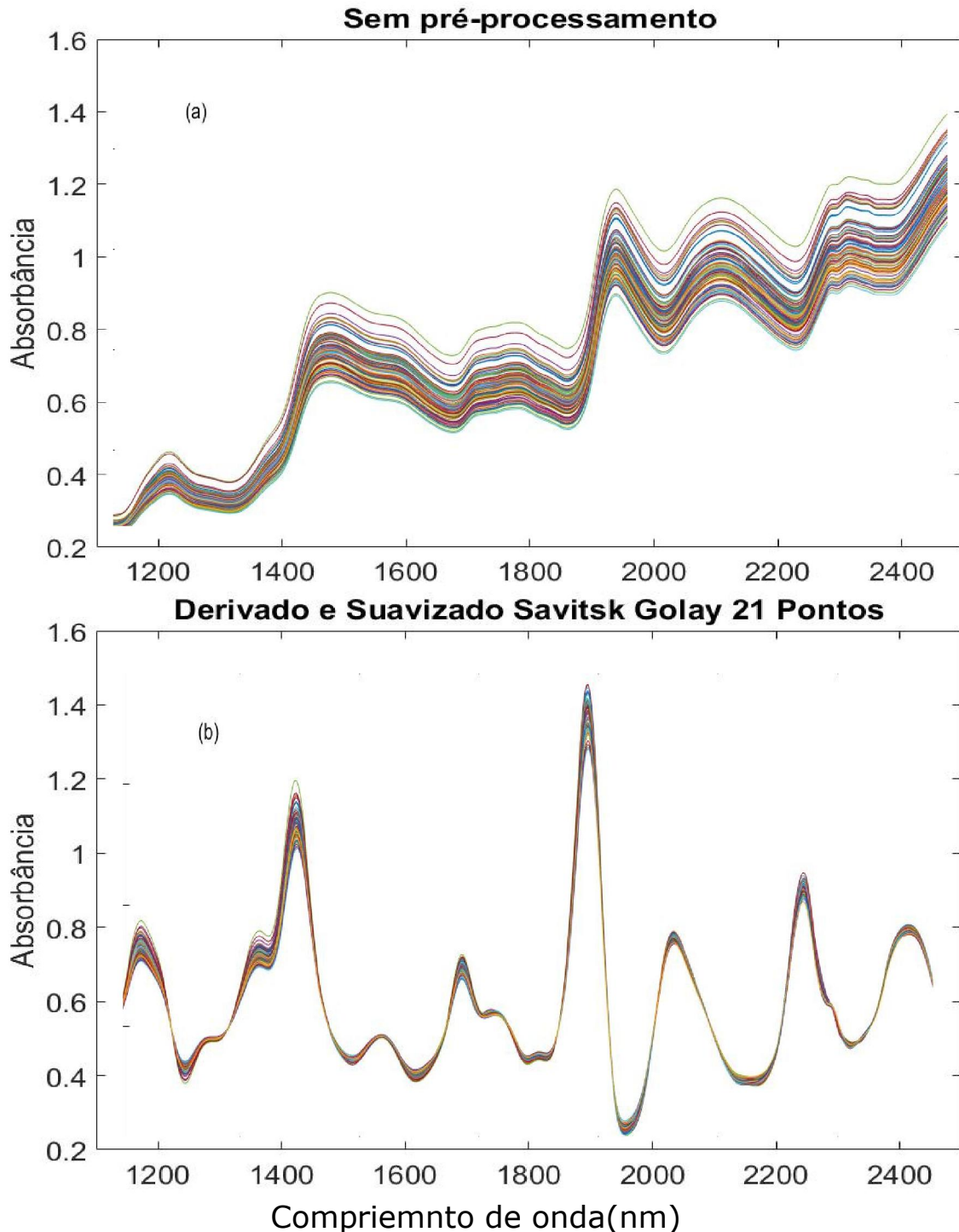
Após a divisão do conjunto de dados, implementa-se PCA com o intuito de verificar se o SPXY selecionou as amostras de fronteira e assim minimizar problemas de extrapolação do modelo durante a etapa de calibração.

2.2.2 Dados NIR de milho

Os espectros de 80 amostras da matriz “milho” foram obtidos na faixa **1.100 – 2.498 nm** encontram-se apresentados na **Figura 2.2**. Observa-se na **Figura 2.2a** que apresentam variação de sua linha de base, assim é necessário o pré-processamento desses dados. Diferentemente do conjunto de dados anterior, não foi necessário retirar regiões dos espectros registrados. Tendo em vista o obice encontrado, deu-se preferência a

utilização dos espectros derivados e após a derivação e suavização com filtro Savitsky-Golay e emprego do polinômio de 2^aordem com janela de 21 pontos como descrito em outros trabalhos^{60,62}, restaram 680 variáveis para cada amostra como pode ser observado na [Figura 2.2b](#).

Figura 2.2. Espectro das 80 amostras de milho. (a) Sem pré-processamento. (b) Derivados e Suavizados Savitsk Golay com janela de 21 pontos.



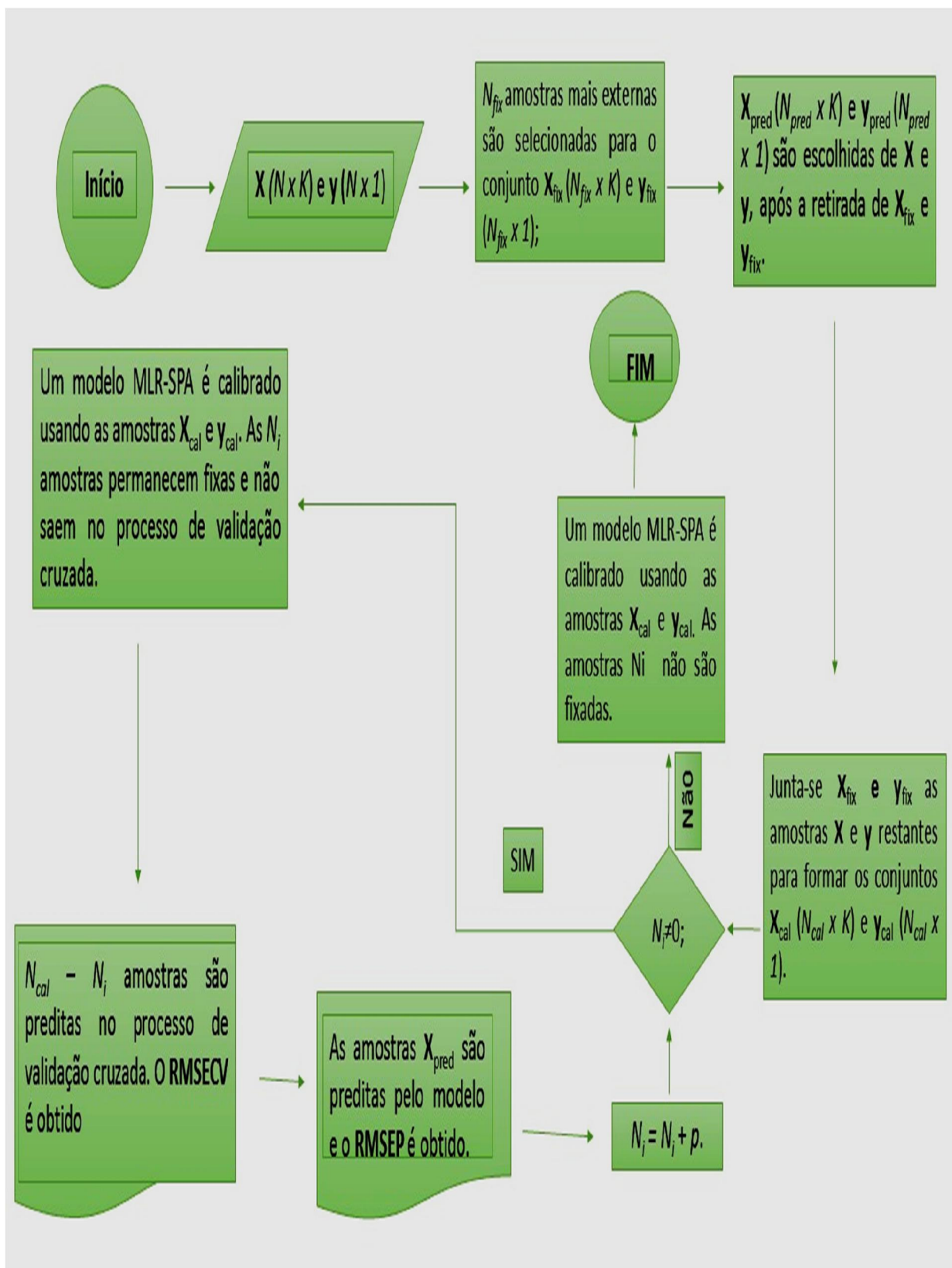
Quanto a divisão do conjunto de dados, foi adotado o mesmo procedimento dos dados anteriores sendo para calibração(51 amostras) e para predição(17 amostras) e 12 amostras selecionadas pelo SPXY.

Assim, como no conjunto de dados anterior, uma analise PCA foi realizada e foram destacadas as amostras que permanecerão fixas durante a modelagem e assim verificar se as mais externas foram realmente selecionadas.

2.3.Algoritmo de Validação Cruzada Híbrida

O algoritmo CVH foi desenvolvido com o intuito de contornar os problemas de extrapolação de modelos de calibração multivariada e, assim, melhorar a capacidade preditiva da modelagem PLS e MLR-APS.Na busca de uma melhor compreensão a cerca do algoritmo de validação cruzada híbrida, um fluxograma com as principais etapas do algoritmo foi construido,como pode ser visualizado a seguir.

Figura 2.3. Fluxograma do Algoritmo de validação cruzada híbrida.



Inicialmente têm-se um conjunto de dados, no qual são apresentados em forma de matrizes \mathbf{X} e \mathbf{Y} , que são respectivamente a matriz de resposta intrumental e matriz de referência. Na etapa seguinte as amostras mais externas presentes nas matrizes \mathbf{X} e \mathbf{Y} são selecionadas via algoritmo SPXY e geram os conjuntos de dados \mathbf{X}_{fix} e \mathbf{Y}_{fix} . Tendo estas amostras mais externas sido selecionadas, as amostras de predição \mathbf{X}_{pred} e \mathbf{Y}_{pred} são selecionadas levando-se em conta a distribuição homogênea dessas amostras. Em seguida as amostras \mathbf{X}_{fix} e \mathbf{y}_{fix} são adicionadas nas amostras restante \mathbf{X} e \mathbf{Y} , gerando assim os conjuntos de calibração \mathbf{X}_{cal} e \mathbf{Y}_{cal} . Quando o número de amostras fixadas N_i é igual a zero, um modelo MLR-APS é calibrado com todas as amostras de \mathbf{X}_{cal} e \mathbf{Y}_{cal} e as amostras N_i não são fixadas. À medida que as amostras vão sendo fixadas, ou seja, $N_i \neq 0$, um modelo de calibração MLR-APS é obtido com as amostras \mathbf{X}_{cal} e \mathbf{Y}_{cal} , sem a presença das amostras N_i que foram fixadas. Durante a etapa de validação cruzada as N_i amostras fixadas não são selecionadas, pois estas apenas delimitam as fronteiras do conjunto amostral. O RMSECV é obtido a partir da predição das amostras do conjunto de calibração, somente $N_{cal} - N_i$ são preditas durante este processo. Após o modelo calibrado as amostras \mathbf{X}_{pred} são preditas e os valores de RMSEP obtidos. Diversos modelos são gerados, levando-se em consideração a seguinte equação $N_i = N_i + P$, onde P é o incremento usado para escolher as amostras que serão fixadas, esse processo se repete até que o número de incrementos (Número de amostras fixadas por vez durante o procedimento de validação cruzada) seja igual ao número de amostras mais externas \mathbf{X}_{fix} selecionadas previamente.

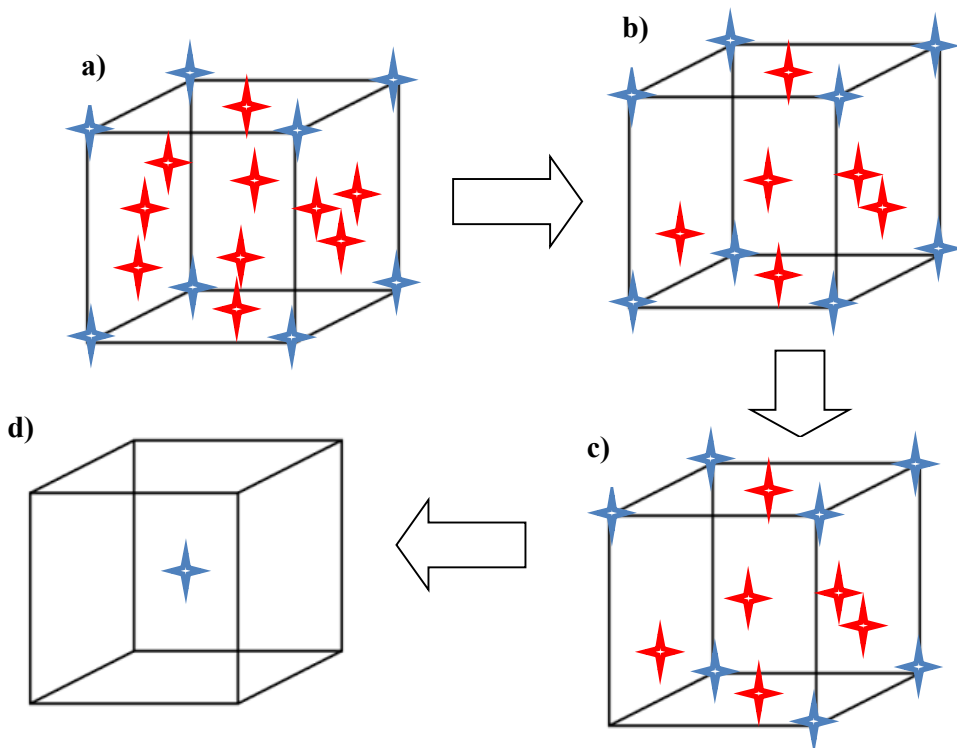
2.4. Funcionamento do Algoritmo de validação híbrida

Inicialmente as amostras mais externas (**azul**) são selecionadas pelo algoritmo SPXY, como pode ser visualizado na **Figura 2.4a**. As amostras selecionadas, representam um percentual de 15% do total das amostras existentes e delimitam as fronteiras amostrais dos dados. Após esse procedimento as amostras remanecentes (**vermelho**) são divididas de forma randômica em amostras de calibração e predição. Na **Figura 2.4b**, as amostras do conjunto de calibração (**vermelho**) e as amostras selecionadas previamente pelo algoritmo SPXY (**azul**) são unidas em um único conjunto de dados.

O conjunto de calibração inicial(**vermelho** e **azul**) é dividido em um subconjunto de calibração, como pode ser observado na **Figura 2.4c**. Esse subconjunto de calibração é utilizado na predição da amostra do subconjunto de validação

A amostra que ficou de fora no procedimento CVLOO, como pode ser vista na **Figura 2.4d**, é predita com base nas amostras do subconjunto de calibração. A amostra que ficou de fora do procedimento de validação cruzada é mais externa. Na fase inicial do algoritmo todas as amostras de calibração(amostras restante e amostras selecionadas previamente pelo SPXY), são incluídas no procedimento de validação cruzada de exclusão e consequentemente preditas na etapa de calibração. O fato de amostras selecionadas previamente, serem usadas na etapa de validação cruzada, não impede que ocorram problemas com extrapolação, pois ao serem preditas as fronteiras amostrais perde-se a delimitação da mesma.

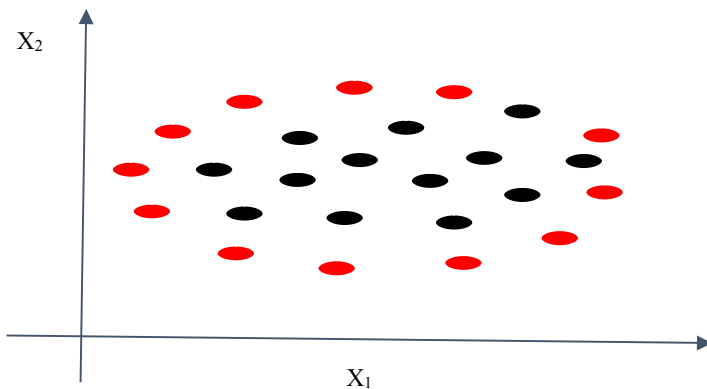
Figura 2.4. Seleção de amostras fixadas pelo SPXY e procedimento CVLOO - (a) Seleção das amostras mais externas. (b) Amostras de calibração e amostras selecionadas pelo SPXY (c) Amostras do subconjunto de calibração d)Amostra deixada de fora no processo CVLOO.



Na etapa seguinte do algoritmo, as amostras que foram selecionadas inicialmente pelo algoritmo SPXY, são divididas em grupos com as mesmas quantidades de amostras que serão fixadas por vez. A medida que cada grupo de amostras é fixado, um

procedimento CVLOO é realizado, esse procedimento é executado até que todos os grupos de amostras tenham sido fixadas. A cada grupo de amostras fixadas na etapa de calibração, tem-se uma restrição no número de amostras a serem incluídas no processo CVLOO, ou seja, o grupo de amostras fixadas, não podem ser incluídas na etapa de validação cruzada. As amostras fixadas e a delimitação das amostras a serem utilizadas no processo de validação cruzada, podem ser compreendidas de maneira mais simples na **Figura 2.5**.

Figura 2.5. Amostras selecionadas pelo SPXY–Vermelho (amostras mais externas selecionadas previamente) Preto (amostras que serão selecionadas no procedimento de validação cruzada).



As amostras mais externas que foram selecionadas previamente, passam a ser fixadas (**vermelho**) na etapa de calibração. As amostras mais internas (**preto**), são as amostras a serem incluídas na validação cruzada, sendo estas delimitadas, problemas com predição de amostras fora dos limites de observação amostral são reduzidos. Quando as amostras fixadas (**vermelho**) são incluídas no conjunto de calibração, se torna possível avaliar sua influência na modelagem de calibração, uma vez que é possível verificar a variabilidade do RMSECV (Root-Mean-Square Error of Cross-Validation) e RMSEP (Root Mean Square Error of Prediction) à medida que mais amostras são fixadas.

As amostras de predição foram selecionadas tendo como parâmetro sua distribuição no espaço amostral (amostras mais externas, amostras mais internas e amostras homogeneamente distribuídas), as amostras que fornecessem os melhores resultados em termos de menores raízes quadráticas de erros médios de previsão e de validação cruzada (RMSEP e RMSECV) respectivamente. A escolha das amostras de

predição em face da sua distribuição espacial, foi utilizada na modelagem PLS-grou-out e MLR-APS.

O algoritmo foi integralmente, implementado (código-fonte no **APÊNDICE**) e executado em ambiente Matlab® 2010b (Mathworks) e o pré-processamento dos dados foi realizado, exclusivamente, usando o software Unscrambler® 9.7 (CAMO AS).

2.5. Uso da Espectrometria NIR para avaliação da estratégia proposta

A espectrometria do infravermelho próximo(NIR-Near InfraRed espeсtrometry) é uma técnica espectrométrica que utiliza a REM (Radiação EletroMagnética), cujos comprimentos de onda encontam-se na faixa de 750 a 2500 nm⁸⁰. A interação dessa radiação com a matéria (absorção ou emissão de fôtons) promove apenas mudanças em estados vibracionais das moléculas^{81,82}. Os espectros NIR consistem de bandas largas resultantes de transições vibracionais – envolvendo, geralmente, ligações do tipo C-H, N-H, O-H e S-H – associadas aos sobretons e bandas de combinação de transições fundamentais que ocorrem no MIR (Mid InfraRed)^{1,3,86}.

Em determinações spectroanalíticas usando a espectrometria NIR, é comum a obtenção de espectros que acarretam dados multivariados complexos, dificultando a extração das informações mais relevantes para as análises químicas. Ademais, a complexidade dos espectros se torna maior quando os sinais do analito são sobrepostos pelas bandas de, sobretudo, concomitante(s) em matrizes complexas. Devido às características dos espectros NIR, a calibração univariada geralmente não permite obter modelos com acurácia satisfatória⁸⁰⁻⁸¹ mesmo na determinação de um único componente (analito ou parâmetro de interesse) em uma matriz menos complexa³. Para superar esse problema, recorre-se usualmente à modelagem empregando técnicas quimiométricas de calibração multivariada

2.5. Espectroscopia NIR na determinação de conteúdo de Proteína em trigo e de umidade em milho.

Na espectroscopia NIR a quantificação desses parâmetros nas amostras em estudo são feitas sem separação previa do analito da matriz e isso requer a utilização de métodos de calibração multivariada, tendo em vista que o sinal do analito não é evidenciado de forma isolada no espectro NIR⁸¹. O fato de necessitar de escasso ou

nenhum tratamento das amostras, proporciona análises mais rápidas e com geração de resíduos minimizada, contribuindo assim para o meio ambiente⁸¹.

A determinação de conteúdo de proteína em amostras de trigo e umidade em amostras milho foram feitas empregando a espectroscopia NIR, por ser uma técnica não-invasiva, não-destrutiva e por fornecer bons resultados sem danificar a amostra para estudos posteriores^{3,84}. O uso no NIR na determinação desses parâmetros, propicia a inserção de algoritmos de seleção de variáveis, tendo em vista que essas análises espectroscópicas fornecem uma grande quantidade de informações e faz-se necessário selecionar as variáveis relevantes na construção do modelo^{84,87}.

CAPÍTULO 3

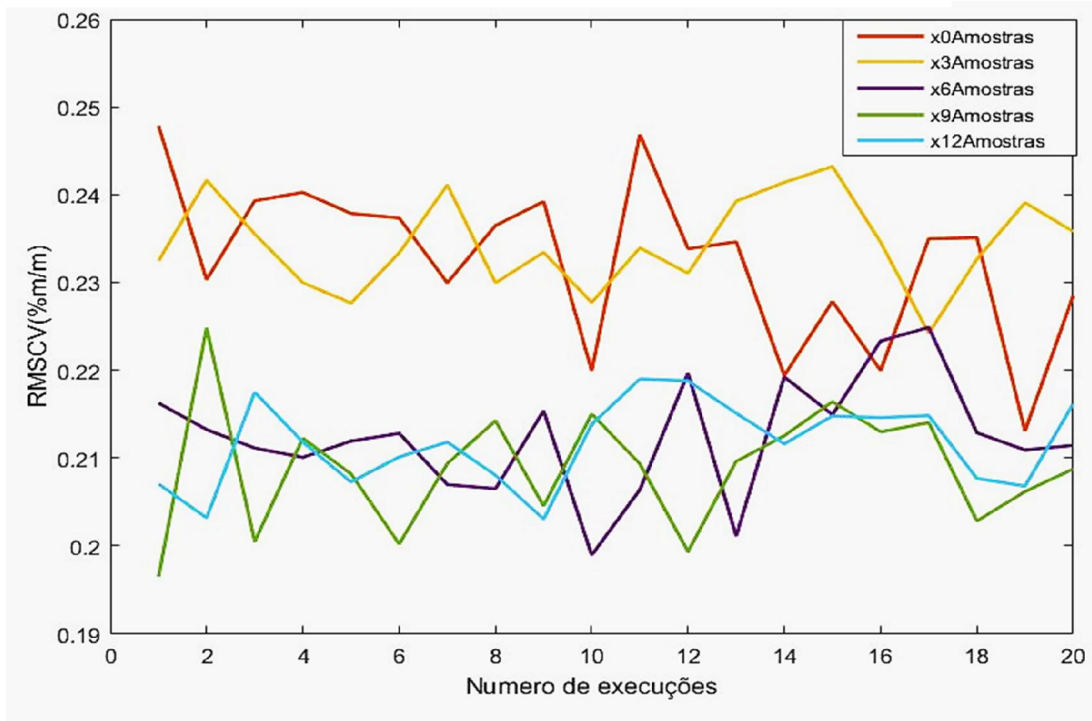
Resultados e Discussão

3.1. PLS group-out com seleção de amostras fixadas

Inicialmente, vários testes foram realizados com o intuito de verificar quais amostras de validação (mais internas, externas e distribuídas homogeneamente) proporcionariam uma diminuição do RMSECV e do RMSEP. Os resultados expressos foram obtidos depois de vinte execuções do algoritmo e avaliados seus respectivos valores de RMSECV e RMSEP. Foram utilizadas 20 execuções, com o intuito de avaliar a previsibilidade do modelo quanto a fixação das amostras mais externas e também avaliou-se o RMSECV médio para cada modelo obtido. Na determinação das amostras a serem retiradas na modelagem PLS group-out, diferentes tipos de amostras de validação foram explorados e o modelo com menores valores de RMSECV foi escolhido.

No conjunto de dados das amostras de trigo, as amostras de predição mais internas proporcionaram uma diminuição significativa em termos de RMSECV. Após o diagnóstico das amostras de predição que mais se adequassem à modelagem, gerou-se o gráfico da **Figura 3.1** no qual se avaliou a variabilidade do RMSECV em função do número de amostras fixas adicionadas.

Figura 3.1. RMSECV amostras trigo em função do número de amostras fixadas.



Na **Figura 3.1** pode-se observar a diminuição do RMSECV a medida que as amostras que permanecerão fixas são adicionadas, a variabilidade desses valores

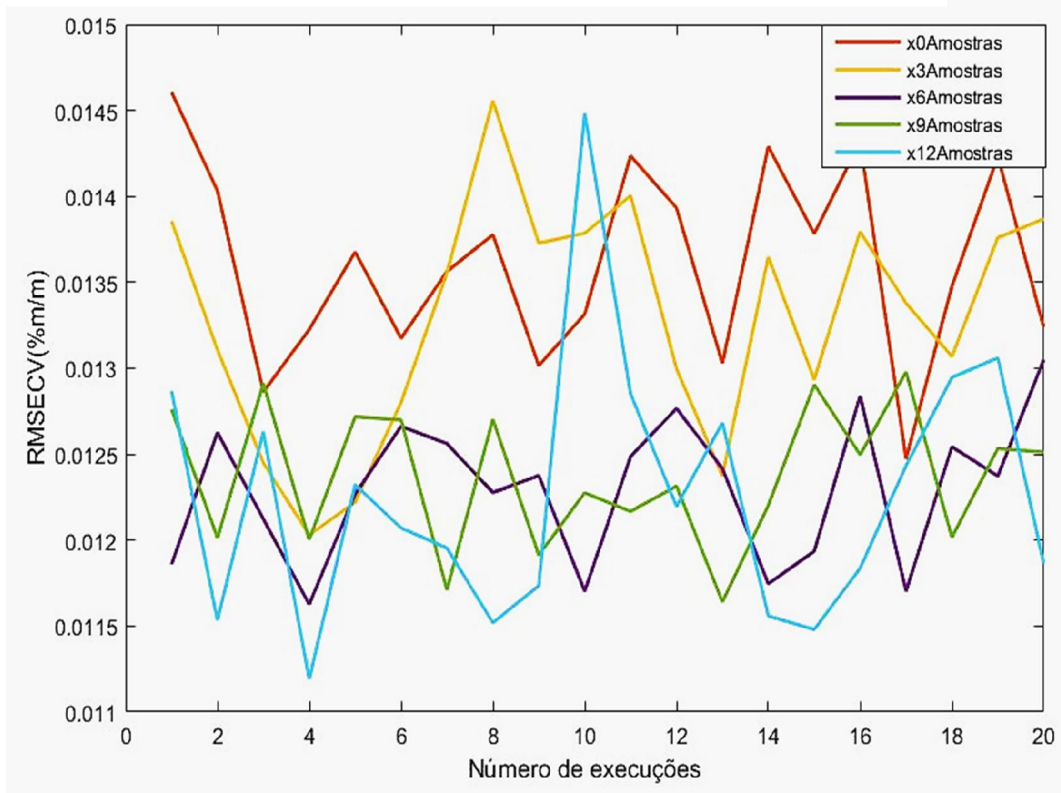
tambem é reduzida, sendo esta mais perceptível ao comparar-se o modelo com zero amostras fixadas(**vermelho**) com os modelos com seis, nove e doze amostras fixadas(**roxo,verde,azul**). Ao comparar-se o modelo com nenhuma amostras fixada(**vermelho**) com os demais modelos no qual as amostras foram fixadas, é perceptível que a adição das mesmas favorece uma diminuição significativa do RMSECV e de sua variabilidade, demonstrando que ao se adicionar amostras que permanecerão fixas no conjunto de calibração pode-se melhorar a robustez da modelagem. O modelo com zero amostras fixadas(**vermelho**), apresentou um RMSECV medio de 0,235(%m/m), enquanto que os modelos com três(**laranja**),seis(**roxo**),nove(**verde**) e doze(**azul**) apresentam os respectivos valores de RMSECV 0,234(%m/m), 0,212(%m/m), 0,210(%m/m) e 0,212(%m/m).Pode-se observar que o modelo com nove amostras fixadas(**verde**), apresenta um menor RMSECV médio, evidenciando assim que esse número de amostras é o mais adequado para a construção do modelo de calibração. A medida que aumenta o número de amostras fixadas, as fronteiras de calibração vão sendo melhor delimitadas, diminuindo assim a ocorrência de predições além dos limites de observação, acarretando assim uma diminuição no RMSECV(raiz quadrada do erro quadratico médio de validação cruzada).

Na análise do conjunto de dados de milho, vinte execuções tambem foram realizadas com o intuito de avaliar a obviedade dos modelos quando amostras são fixadas e assimobteveum RMSECV médio. A escolha das amostras de predição mais externas forneceram os menores valores e a menor variabilidade dentre os modelos estudados em termos de RMSECV. Pode-se observar uma diminuição da variabilidade do RMSECV quando amostras são fixadas no conjunto de calibração. Na **Figura 3.2** é possivel observar a medida que mais amostras fixas vão sendo adicionadas no conjunto de calibração,uma queda acentuada do RMSECV e uma baixa alterabilida do mesmo ao longo das vinte execuções.Os modelos com zero(**vermelho**) e com três (**laranja**) amostras fixadas apresentaram as maiores mutalibilidades de RMSECV, mesmo assim é possivel observar que o modelo no qual amostras foram fixadas, exibe um perfil com menor varibilidade dos dados.

Dentre os modelos estudados, aquele com menor alterabilidade em termos de RMSECVfoi selecionado. Quando doze amostras (**azul claro**) foram fixadas no conjunto de validação, pode-se notar uma queda em termos de variação do RMSECV, exceto na decima execução, onde possivelmente as amostras mais externas não eram de

fronteira, acarretando assim um aumento na sua variabilidade. Os modelos obtidos apresentaram uma pequena diferença em termos de RMSECV, levando-se em conta aqueles com e sem a fixação de amostras na etapa de calibração. O modelo com zero amostras fixadas(**vermelho**) apresentou um RMSECV de 0,0140(%m/m), já os modelos com três(**laranja**) 0,0135(%m/m), seis(**roxo**) 0,0124(%m/m), nove(**verde**) 0,0124(%m/m) e doze(**azul**) 0,0121(%m/m). Em face do exposto, é perceptível que os modelos com amostras fixadas no conjunto de calibração proporcionam em média menores valores de RMSECV que os sem nenhuma amostra fixada, demonstrando assim que a inclusão destas pode proporcionar uma melhora significativa no modelo de calibração.

Figura 3.2. RMSECV amostras milho em função do número de amostras fixas



Com a abordagem PLS adotada para esses conjuntos de dados, não foi possível avaliar a variabilidade do RMSEP em função do índice de amostras, pois os mesmos não apresentavam variabilidade significativa dos resultados para as vinte execuções, impossibilitando assim uma melhor avaliação para a modelagem proposta.

3.2. MLR-APS Fixação de amostras

3.2.1 Dados NIR de amostras de trigo

À medida que amostras selecionadas, previamente, são fixadas no conjunto de calibração proporcionam uma diminuição em termos de RMSEP e RMSECV em modelagem MLR-APS. Na **Tabela 3.1** é possível observar que o modelo no qual quatro amostras são fixadas apresentam os menores valores de raiz quadrada do erro medio de previsão(RMSEP) e de raiz quadrática do erro quadrático médio de validação cruzada (RMSECV), mesmo com um número menor de amostras que participam do procedimento de validação cruzada, demonstrando que as amostras mais externas ao serem fixadas proporcionam a aquisição de melhores modelos de calibração.

Apesar de ter um número menor de amostras, que participam do procedimento CVLOO, os modelos que possuem amostras fixadas na etapa de calibração apresentam desempenho ligeiramente melhor que o modelo sem que amostras sejam fixadas na etapa de calibração. Ao comparar-se o modelo com o número mínimo de amostras fixadas e o modelo com o máximo de amostras fixadas, pode-se observar que o número de amostras que participam do procedimento validação cruzada diminui significativamente de 77 para 61 amostras e pode-se observar seus respectivos valores de RMSECV e RMSEP que são 0,261%(m/m) e 0,197%(m/m), para o número mínimo de amostras fixadas e 0,231%(m/m) e 0,164%(m/m) com o máximo de amostras fixadas.

Tabela 3.1. Valores de RMSEP e RMSECV em relação ao número de amostras de trigo fixadas.

Nº de Amostras Fixadas	RMSEP %(m/m)	Nº de Variáveis selecionadas	RMSECV%(m/m)
0	0,261	24	0,197 (77)
4	0,194	19	0,163 (73)
8	0,266	18	0,164 (69)
12	0,219	19	0,177 (65)
16	0,231	20	0,164 (61)

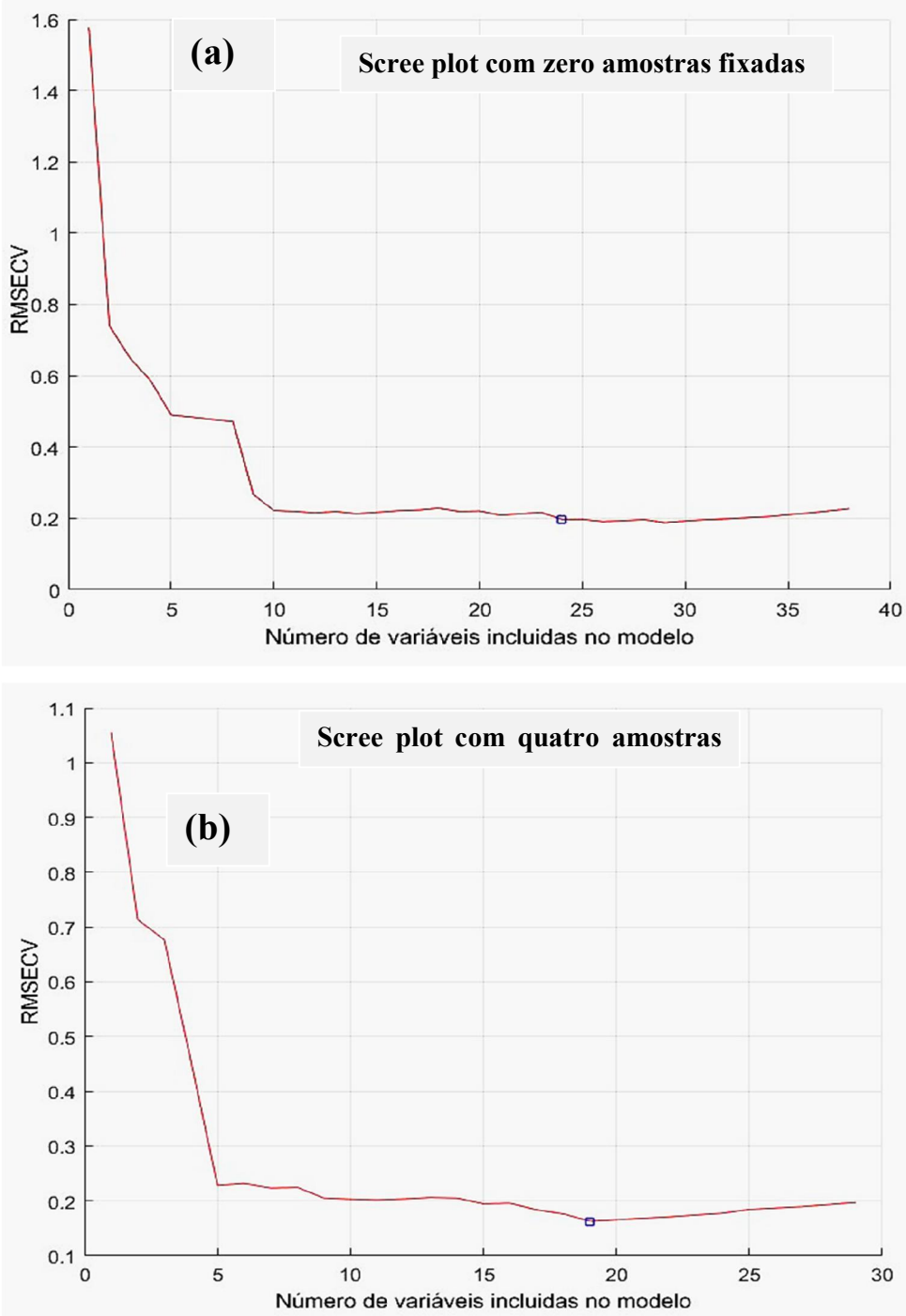
Os valores de RMSEP para os modelos com amostras fixadas diminuem significativamente(com excessão do modelo com 8 amostras fixadas)quando

comparados com o modelo sem amostras fixadas. O aumento em termos de RMSEP em alguns modelos com amostras fixadas ocorreu em virtude da fixação de amostras mais internas, pois nem todas as amostras selecionadas pelo SPXY são necessariamente as mais externas (de fronteira), tendo em vista que nesse algoritmo a seleção dessas amostras leva-se em conta também a correlação entre as matrizes X e Y. A medida que amostras são fixadas na etapa de calibração, um número menor de variáveis são incluídas no modelo de calibração, demonstrando bom condicionamento dos dados. O modelo com zero amostras fixadas apresentou um baixo desempenho em termos de RMSEP, RMSECV e número de variáveis selecionadas para a construção do modelo, que são respectivamente 0,261% (m/m), 0,197% (m/m) e 24 variáveis selecionadas. Já o melhor modelo foi obtido quando quatro amostras foram fixadas 0,194% (m/m), 0,163% (m/m) e 19, que foram seus respectivos valores de RMSEP, RMSE e número de variáveis selecionadas. Quando essas amostras são fixadas na etapa de calibração, em modelagem APS-MLR demonstrou grande potencial, pois uma vez que as amostras de fronteira são fixadas os problemas com extração de modelo são minimizados e consequentemente ocorre uma melhoria na capacidade preditiva do mesmo.

3.2.2 Análise das figuras scree plot

Nas **Figuras 3.3a e 3.3b** é possível observar que quando quatro amostras fixas são adicionadas, o modelo apresenta baixos valores de RMSECV com apenas cinco variáveis selecionadas na modelagem MLR-APS, enquanto o modelo sem nenhuma amostra fixa adicionada apresenta diminuição considerável do RMSECV a partir de oito variáveis selecionadas. O número de variáveis ideal para o modelo com zero amostras adicionadas foi 24 variáveis selecionadas e para o modelo com quatro amostras adicionadas foi 19 variáveis, demonstrando assim que a adição de amostras fixadas na etapa de calibração proporciona uma simplificação para a modelagem APL-MLR.

Figura 3.3. (a) Scree plot com zero amostras fixadas.e (b) Scree plot com quatro



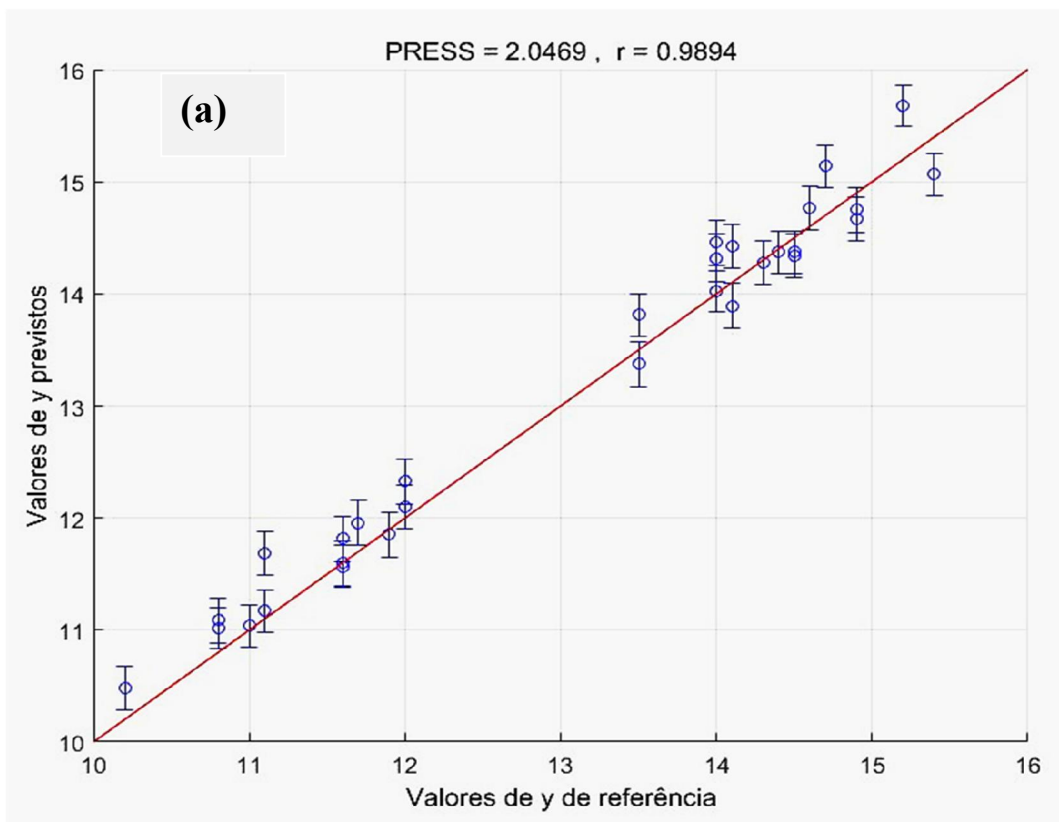
Vale ressaltar também que, com quatro amostras fixadas, observa-se uma diminuição significativa em termos RMSECV com apenas 5 variáveis selecionadas, enquanto que o modelo com zero amostras fixadas esse efeito pode ser observado

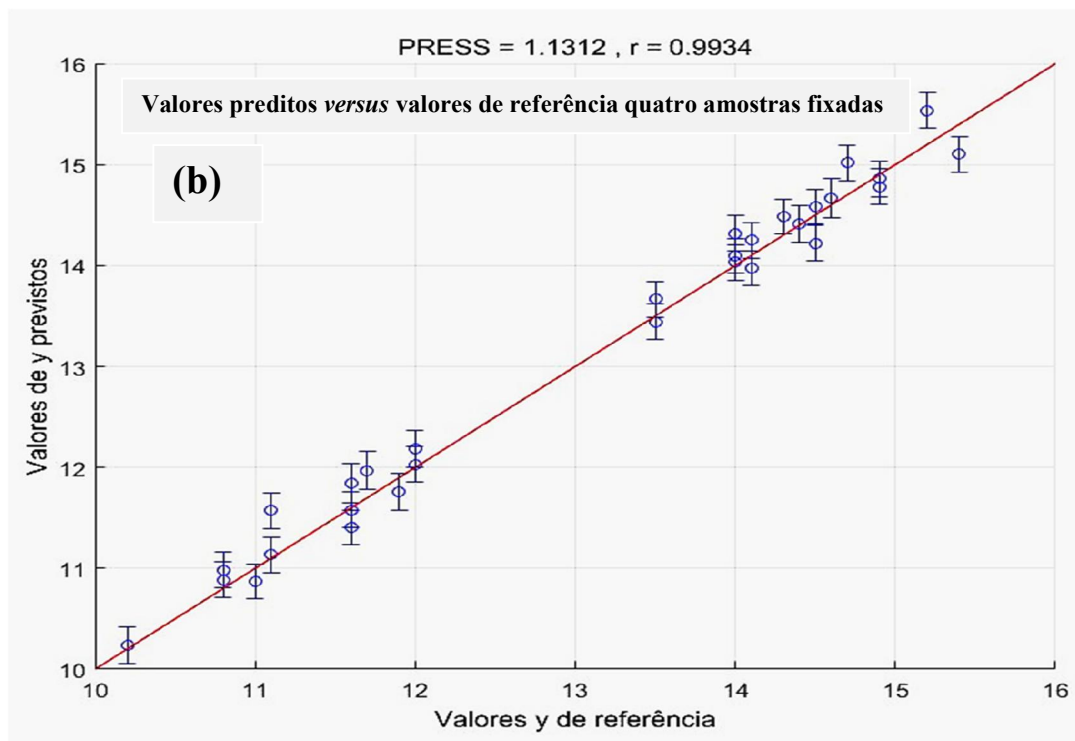
quando 8 variáveis são selecionadas, demonstrando assim que o modelo com quatro amostras fixadas geram modelos mais simples

3.2.3. Valores preditos versus valores de referência

Nas **Figuras 3.4a e 3.4b** pode-se observar que o modelo com quatro amostras fixadas estão ligeiramente mais ajustados a reta, quando comparado ao modelo com nenhuma amostra fixada. Os coeficientes de correlação para os modelos com zero e quatro amostras foram respectivamente 0,9894 e 0,9934, demonstrando que ao se adicionar as amostras fixas na calibração proporciona uma melhoria no modelo. Os modelos com zero e quatro amostras fixadas apresentam bom condicionamento dos dados, visto que não há tendência quanto a disposição dos mesmos. Porém o modelo com 4 amostras fixadas apresenta um melhor coeficiente de correlação dos dados sendo este mais indicado para a construção de um bom modelo de calibração.

Figura 3.4. (a) Valores preditos versus valores de referência zero amostras fixadas e (b) Valores preditos versus valores de referência quatro amostras fixadas.





Quando quatro amostras são adicionadas é possível perceber uma redução do somatório dos quadrados dos erros resíduais de predição (PRESS) em aproximadamente 50% em relação ao modelo com zero amostras adicionadas. Essa redução indica que o modelo com quatro amostras fixadas é mais adequado para a construção de um bom modelo de calibração MLR-APS.

3.2.4 Dados NIR de amostras de milho

Na determinação do teor de umidade em amostras de milho, o modelo no qual amostras foram fixadas apresentaram melhores desempenhos em termos de RMSEP e RMSECV, como pode ser evidenciado na **Tabela 3.2**. Dentre todos os modelos, aquele com três amostras fixadas apresentou o pior desempenho, tendo selecionado um número maior de variáveis incluídas no modelo, que aumenta a complexidade do mesmo e apresentou os maiores valores de RMSECV e RMSEP que são respectivamente 0,0085%(m/m) e 0.0155%(m/m). Essas três amostras fixadas não eram amostras de fronteira e portanto o espaço amostral não foi delimitado com precisão, afetando assim a capacidade preditiva do modelo.

Tabela 3.2. Valores de RMSEP e RMSECV em relação ao número de amostras de milho fixadas.

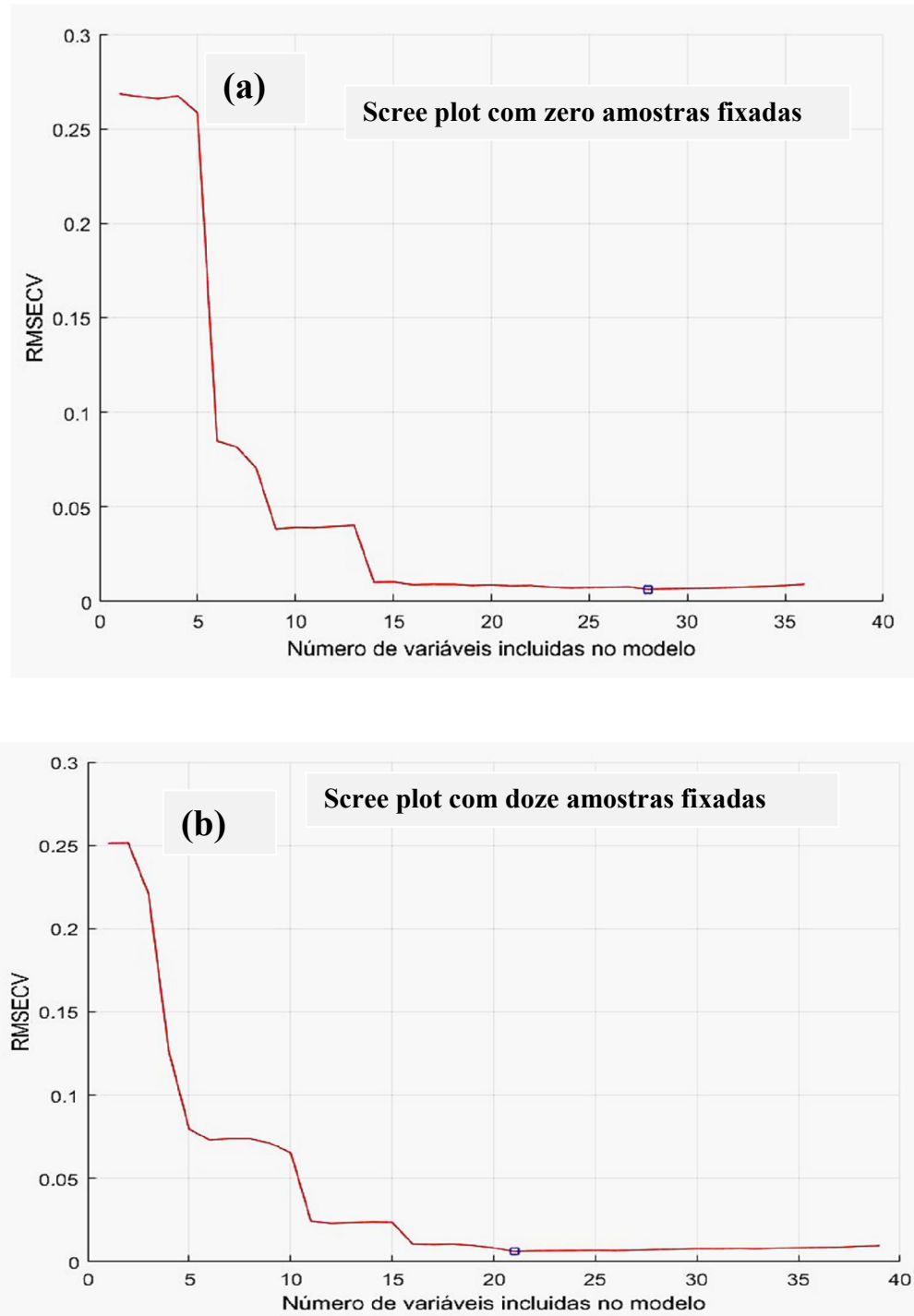
Nº de Amostras Fixadas	RMSEP % (m/m)	Nº de Variáveis	RMSECV % (m/m)
0	0.0142	28	0.0065 (60)
3	0.0155	30	0.0085 (57)
6	0.0115	24	0.0063 (54)
9	0.0125	21	0.0087 (51)
12	0.0114	21	0.0061 (48)

O modelo com zero amostras fixas adicionadas apresentou valores de RMSEP e RMSECV bem maiores que os modelos com seis, nove e doze amostras, mesmo selecionando um número maior de variáveis, demonstrando que os modelos sem amostras fixadas são menos parcimoniosos. Quando doze amostras fixas são adicionadas na etapa de calibração apenas 21 variáveis foram selecionadas e os menores erros de predição(RMSEP) e erros de validação cruzada(RMSECV) foram obtidos 0,0114%(m/m) e 0,0061%(m/m). No modelo sem amostras fixadas, 28 variáveis foram selecionadas e mesmo assim o modelo apresentou altos valores de RMSEP e RMSECV por essa ordem 0,0142% (m/m) e 0,0065%(m/m). A fixação de amostras mais externas na etapa de calibração, além de minimizar problemas com extração do modelo, também permite a obtenção de modelos mais simples e parcimoniosos.

3.2.5 Análise das figuras Scree Plot

Os gráficos de “scree plot, obtidos para o pior e o melhor modelo, são apresentados, respectivamente, nas **Figuras 3.5a e 3.5b**. Pode-se observar a diminuição do RMSECV a medida que mais variáveis são selecionadas.

Figura 3.5. (a) Scree plot com zero amostras fixadas.b) Scree plot com doze amostras fixadas.



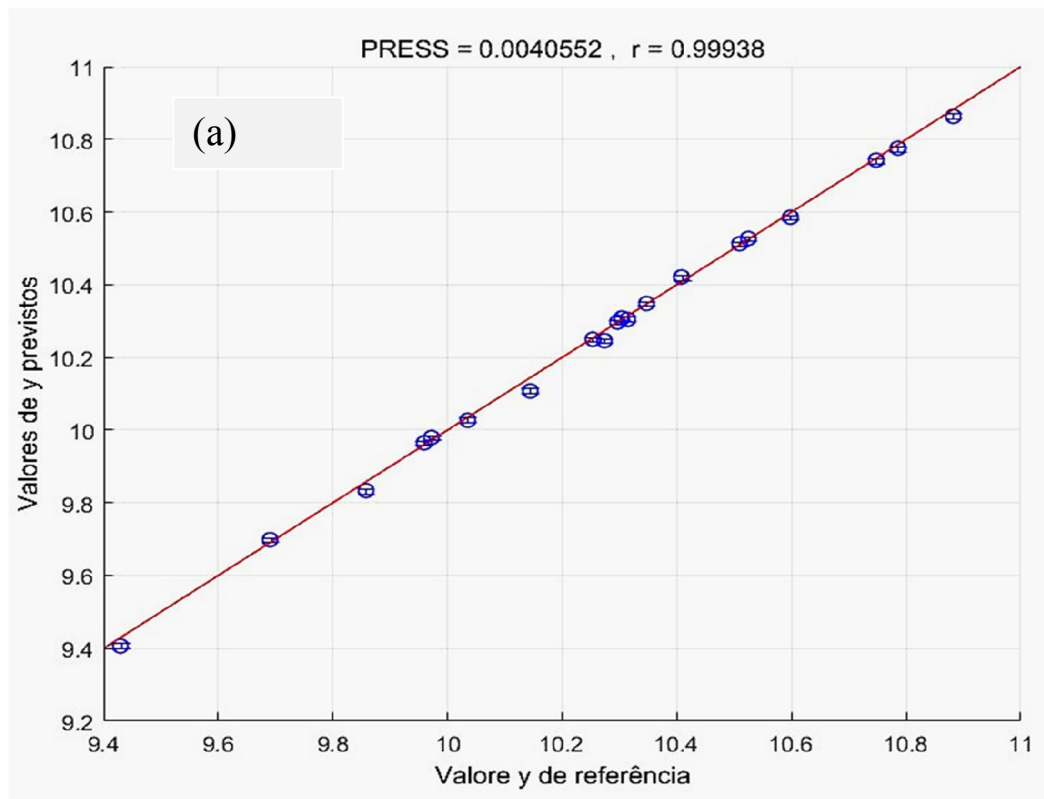
Na **Figura 3.5b**, pode-se observar que três variáveis são incluídas no modelo, proporcionam um decréscimo do RMSECV, já na figura 3.5a, um número maior de

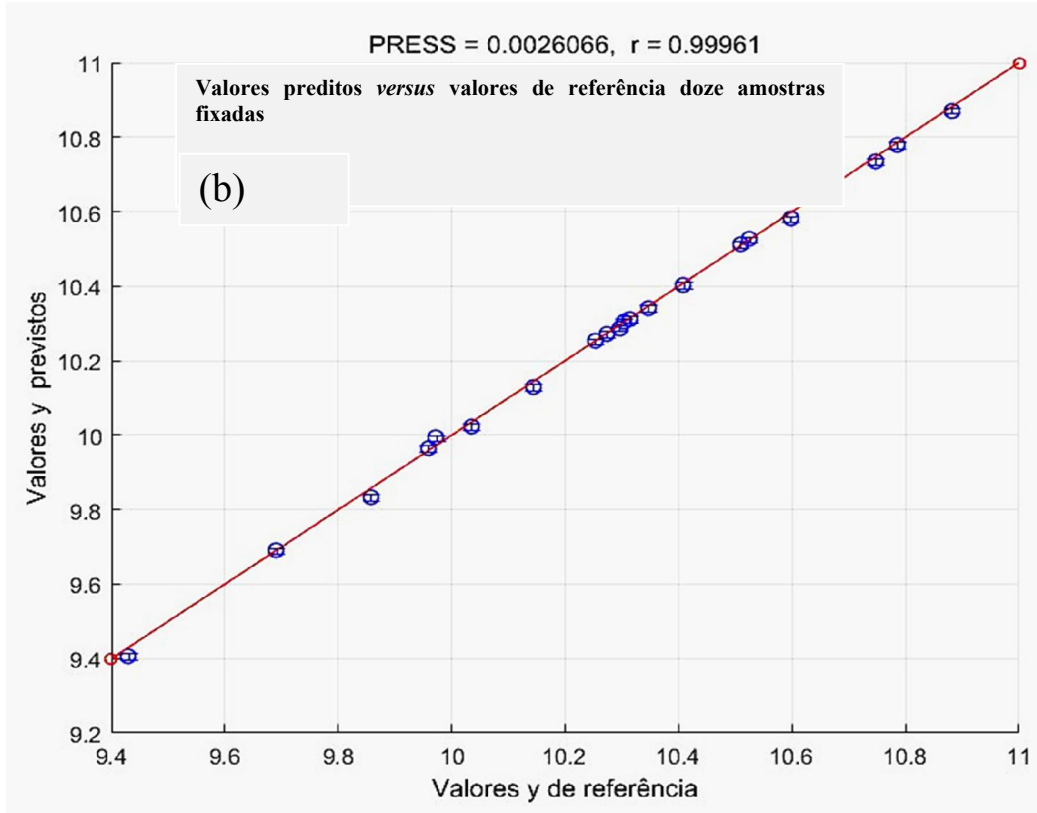
variáveis devem ser incluídas no modelo para proporcionar uma diminuição do RMSECV. O modelo com doze amostras fixadas selecionou 21 variáveis como sendo o número ideal para a construção de um bom modelo, enquanto que aquele sem a presença de amostras fixadas, incluiu 28 variáveis para construção de um modelo bem ajustado.

3.2.6. Valores Preditos versus valores de referência

O modelo com doze amostras fixadas apresenta um coeficiente de correlação ligeiramente maior que o obtido sem nenhuma amostra fixada sendo estes iguais a, respectivamente, 0,99961 e 0,99938. Nas **Figuras 3.6a e 3.6b** é perceptível que não ocorreu diferenças significativas de como as amostras estão dispostas na reta de ajuste para ambos modelos.

Figura 3.6. (a) Valores preditos versus valores de referência com zero amostras fixadas e (b) Valores preditos versus Valores de referência com dezesseis amostras fixadas.





A diferença mais significativa entre os resultados expostos, ocorre ao comparar-se os resultados em termos de valores de PRESS. O modelo com doze amostras fixadas e o modelo sem amostras fixadas, percebe-se uma redução significativa 0,00261%(m/m) e 0,0040%(m/m) respectivamente, que demonstra que a modelagem com doze amostras fixadas é o mais adequado para construção de modelos mais parcimoniosos e de melhor capacidade preditiva em modelos MLR-APS.

CAPÍTULO 4

Conclusões

4.1 CONCLUSÕES

No presente trabalho, propôs-se uma nova estratégia de validação híbrida com seleção de amostras fixadas pelo algoritmo SPXY em modelagens PLS group-out e MLR-APS para minimizar problemas de extrapolação de modelos de calibração multivariada. A estratégia proposta foi avaliada, inicialmente, em modelagem PLS group-out usando dois conjuntos de dados. O primeiro compreende 107 amostras de trigo, no qual o parâmetro de interesse era o conteúdo de proteína sendo os espectros NIR 680 variáveis (comprimentos de onda) após realizado o pré-processamento. O segundo conjunto envolveu 80 amostras de milho, cujo parâmetro alvo no estudo foi o teor de umidade, sendo os sinais medidos também em 680 variáveis (após pré-processamento).

Para ambos os conjuntos de dados, a estratégia proposta foi avaliada em termos de RMSECV e RMSEP em função do número de amostras fixadas. Durante a realização desses estudos percebeu-se que, apesar de obter bons resultados em termos de RMSECV, o mesmo não ocorreu com os valores de RMSEP. Em virtude dos resultados insatisfatórios em termos de RMSEP para o modelo PLS para uma única execução do algoritmo, foram realizadas vinte execuções do algoritmo para os dois conjuntos de dados; avaliou-se então seus respectivos RMSEP médios. De fato, essa última métrica apresentava variabilidade muito pequena à medida que mais amostras fixadas foram adicionadas ao longo das vinte execuções, impossibilitando uma avaliação adequada da validação híbrida em calibração PLS.

Em face desse óbice, optou-se por utilizar essa validação híbrida em modelos de calibração multivariada baseados em seleção de variáveis. A modelagem MLR-APS foi utilizada para os mesmos conjuntos de dados. Observou-se que, diferentemente da modelagem PLS, os resultados em termos de RMSEP mostraram uma certa variabilidade à medida que mais amostras fixadas são adicionadas na etapa de calibração.

Para o conjunto de dados de trigo, houve uma redução do RMSEP de, aproximadamente, 25% quando se compara o modelo, obtido com base em quatro amostras fixadas, com o obtido sem nenhuma amostra fixada. Além disso, o modelo baseado em quatro amostras fixadas proporcionou uma redução no RMSECV em cerca de 17% e com um número de variáveis selecionadas bem menor.

No conjunto de dados do milho, quando se compara o modelo com doze amostras fixadas e o modelo sem amostras fixadas, é possível observar uma diminuição

do número de variáveis selecionadas, bem como uma diminuição dos respectivos valores de RMSEP e RMSECV para, respectivamente, cerca de 20% e 6%.

A abordagem proposta mostrou-se bem eficiente em modelagem MLR-APS, demonstrando que, quando as amostras mais externas são fixadas, os problemas de extrapolação na modelagem são minimizados e proporcionam uma melhoria na capacidade preditiva do modelo de calibração. A inserção dessas amostras faz com que um menor número de variáveis sejam selecionadas, proporcionando modelos mais parcimoniosos e de fácil interpretação. Como as amostras mais externas são fixadas, os modelos tornam-se menos susceptíveis a variações que prejudicam sua robustez. Ademais, o uso das amostras de fronteira pode minimizar (ou até prevenir) problemas de extrapolação da região envolvida na modelagem de calibração.

4.2. Perspectivas Futuras

- Re-aplicar a validação híbrida, com seleção de amostras fixadas pelo algoritmo SPXY, em modelagem PLS para investigar a razão da baixa variabilidade do RMSE à medida que mais amostras fixadas são adicionadas.
- Aplicar a estratégia de validação híbrida a novos conjuntos de dados.
- Adaptar a estratégia proposta à modelagem multivariada envolvendo problemas de classificação.

Referências

1. Ferreira,M.M.C;Antunes,A.M;Melgo.M.S,&Volpe,P.L.O.(1999).**Quimiometria I:Calibração Multivariada, um tutorial.**Química Nova, Vol. 22, No. 5, 724-731.
2. Blanco.M; Coello.J, Iturriaga.H, Maspoch. S,& Bertran.E.(1995). **Simultaneous Determination of Rubber Additives by FT-IR Spectrophotometry with Multivariate Calibration.**Applied Spectroscopy,Vol 49,Nº.6,747-753.
3. Bokobza, L. (1998). **Near Infrared Spectroscopy.** Journal of Near Infrared Spectroscopy, 6(1), 3–17.
4. Walmsley, A.(1997). **Improved variable selection procedure for multivariate linear regression.** Analytica Chimica Acta, 354(1-3), 225–232.
5. Xu, L., Fu, H.Y., Goodarzi, M., Cai, C.-B., Yin, Q.-B., Wu, Y., She,Y.B. (2018). **Stochastic cross validation.** Chemometrics and Intelligent Laboratory Systems, 175, 74–81.
6. Wakeling, I. N., & Morris, J. J. (1993). **A test of significance for partial least squares regression.** Journal of Chemometrics, 7(4), 291–304.
7. Efron, B. (1986). **How Biased is the Apparent Error Rate of a Prediction Rule?** Journal of the American Statistical Association, 81(394), 461–470.
8. Kenard,R.W;Stones,L.A(1969).**Computer Aided Design of Experiments.**Technometrics,Vol. 11.No.1,137-148.
9. GALVAO, R., ARAUJO, M., JOSE, G., PONTES, M., SILVA, E., &SALDANHA, T. (2005). **A method for calibration and validation subset partitioning.** Talanta, 67(4), 736–740.
10. Höskuldsson, A. (1996). **Dimension of linear models.** Chemometrics and Intelligent Laboratory Systems, 32(1), 37–55.
11. Varma, S., & Simon, R. (2006). **Bias in error estimation when using cross-validation for model selection BMC.** Bioinformatics, 7(1), 91.
12. Braga,J.W.B,Poppi,R.J.(2004).**Validação De Modelos De Calibração Multivariada: Uma Aplicação Na Determinação De Pureza Polimórfica De Carbamazepina Por Espectroscopia No Infravermelho Próximo.**Quim. Nova, Vol. 27, No. 6, 1004-1011.
13. Zhang, P.(1993).**Model Selection Via Multifold Cross Validation,** the Annals of Statistics,Vol. 21, No. 1 . 299-313.

14. Brereton, R.G.(2000).**Introduction to multivariate calibration in analytical chemistry.** Analyst, 2000, **125**, 2125–2154.
15. Xu, Q.-S., Liang, Y.-Z., & Du, Y.-P. (2004). **Monte Carlo cross-validation for selecting a model and estimating the prediction error in multivariate calibration.** Journal of Chemometrics, 18(2), 112–120.
16. Du, Y. P., Kasemsumran, S., Maruo, K., Nakagawa, T., & Ozaki, Y. (2006). **Ascertainment of the number of samples in the validation set in Monte Carlo crossvalidation and the selection of model dimension with Monte Carlo crossvalidation.** Chemometrics and Intelligent Laboratory Systems, 82(1-2), 83–89.
17. Arlot, S., & Celisse, A. (2010). **A survey of cross-validation procedures for model selection.** Statistics Surveys, 4(0), 40–79.
18. Martens,H.A,Dardene.P.(1998).**Validation and verification of regression in small data sets,** Chemometrics and intelligent laboratory systems,44,99-121.
19. Wold,S;Sjöström.M;Eriksson.Lennart.(2001).**PLS-regression:abasic tool of chemometrics;** Chemometrics and intelligent laboratory systems, 58,109-130.
20. Mao, X. D., Sun, L. J., Hao, G., Xu, L. L., & Hui, G. Y. (2013). **Optimization of Wheat Protein Near Infrared Calibration Model Based on SPXY.** Advanced Materials Research, 803, 122–126.
21. Valderrama, P., Braga, J. W. B., & Poppi, R. J. (2009). **Estado da arte de figuras de mérito em calibração multivariada.** Química Nova, 32(5), 1278–1287.
22. Kowalski,B,R. **Chemometrics Mathematics and Statistics in Chemistry.** Proceedings of the NATO Advanced Study Institute on Chemometrics–Mathematics and Statistics in Chemistry Cosenza, Italy September 12-23, 1983.
23. Cerqueira,E.O;Andrade,J.C;Poppi,R.J. (2001). **Redes neurais e suas aplicações em calibração multivariada.** Quim. Nova, Vol. 24, No. 6, 864-873, 2001.
24. Nagata, N; Bueno, M.I.M.S; Peralta, P.G.Z. **Métodos matemáticos para correção de interferências espectrais e efeitos Inter-elementos na análise quantitativa por fluorescência de raios-x.**Quim. Nova, Vol. 24, No. 4, 531-539, 2001.
25. Beebe, K. R., & Kowalski, B. R. (1987). **An introduction to multivariate calibration and analysis.** Analytical Chemistry, 59(17), 1007A–1017A.

26. Gemperline, P. **Practical guide To chemometrics**, 2º ed, Taylor & Francis Group 6000 Broken Sound Parkway NW, Suite 300 Boca Raton, FL 33487-2742, 2006.
27. Jolliffe, I. T. (1993). **Principal component analysis: A beginner's guide - II. Pitfalls, myths and extensions**. Weather, 48(8), 246–253.
28. Martínez,A.M; Kak,A.C. **PCA versus LDA**.IEEE Transactions on pattern analysis and machine intelligence, VOL. 23, NO. 2, FEBRUARY 2001.
29. MESSERSCHMIDT, I. **Análise quantitative por espectroscopia no infravermelho médio empregando técnicas de reflectância e calibração multivariada**.Tese de Doutorado, IQ-UNICAMP, 1999.
30. Jolliffe, I. T. (1982). **A Note on the Use of Principal Components in Regression**. Applied Statistics, 31(3), 300.
31. Marana, Aparecido Nilceu; Ribeiro, Icaro; Chiachia, Giovani. **Reconhecimento de faces sob diferentes condições de iluminação utilizando PCA e a transformada census**. Learning and Nonlinear Models, v. 9, n. 2, p. 138-144, 2011.
32. E.Z. Tenorio, C.E. Thomaz. **Análise multilinear discriminante de formas frontais de imagens 2d de face** Proceedings of the X Simpósio Brasileiro de Automação Inteligente, SBAI (2011), pp. 266-271.
33. Picard, R. R., & Cook, R. D. (1984). **Cross-Validation of Regression Models**. Journal of the American Statistical Association, 79(387), 575–583.
34. Shao J. **Linear model selection by crossvalidation**.J. Amer. Statist. Assoc. 1993; 88: 486–494.
35. A.M. Molinaro, R. Simon, R.M. Pfeiffer, **Prediction error estimation: a comparison of Resampling methods**, Bio informatics 21 (2005) 3301–3307.
36. A.A. Gowen, G. Downey, C. Esquerre, C.P. O'Donnell, **Preventing over-fitting in PLS Calibration models of near-infrared (NIR) spectroscopy data using regression coefficients**, J. Chemometrics. 25 (2011) 375–381.
37. H.van der Voet; **Comparing the predictive accuracy of models using a simple randomization test**, Chemometrics and Intelligent Laboratory Systems 25 (1994) 313-323.
38. Xu, Q.-S., & Liang, Y.-Z.. **Monte Carlo cross validation**. Chemometrics and Intelligent Laboratory Systems, 56(2001), 1–11.

39. David.W.O.(1988). **Selection of optimal regression models via Cross-validation.**JOURNAL OF CHEMOMETRICS. VOL. 2. 39-48.
40. D.K. Pedersen, H. Martens, J.P. Nielsen, S.B. Engelsen. **Near-Infrared Absorption and Scattering Separated by Extended Inverted Signal Correction (EISC): Analysis of Near-Infrared Transmittance Spectra of Single Wheat Seeds.** Appl. Spectrosc. 56 (2002) 1206–1214.
41. Barros Neto, B. de, Pimentel, M. F., & Araújo, M. C. U. (2002). **Recomendações para calibração em química analítica: parte I. Fundamentos e calibração com um componente (calibração univariada).** Química Nova, 25(5), 856–865.
42. Hongyu, K., Sandanielo, V. L. M., Junior, G. J. O. **Análise de Componentes Principais: resumo teórico, aplicação e interpretação.**E&S - Engineering and Science, (2016),5:1.
43. Brown, S. D. (1995). **Chemical Systems under Indirect Observation: Latent Properties and Chemometrics.** Applied Spectroscopy, 49(12), 14A–31A.
44. Efron, B. (1979). **Bootstrap Methods: Another Look at the Jackknife.**The Annals of Statistics, 7(1), 1–26.
45. Pires,B.O.L. **Métodos de aprendizagem de máquina em química analítica: Floresta Randômica aplicada na avaliação de petróleo.**2019.141f. Tese(Doutorado em Química)-Universidade Federal do Espírito Santo,Vitoria.
46. Correr,C.J;Cordeiro,J,Gasparetto,J,Peralta.Zamora,Cco&Pontarolo,R.(2005).**Determinação de Ácido Kólico em Produtos Farmacêuticos por Espectroscopia Uv-vis e Processo de Calibração Multivariada.**Acta Farm. Bonaerense 24 (3): 416-20
47. Souza,A.M;Breitkreitz,M.C;Roberto,P.F;Rodrigues,J.J.R&Poppi,R.J.(2013).**Experimento Didático De Quimiometria Para Calibração Multivariada Na Determinação De Paracetamol Em Comprimidos Comerciais Utilizando Espectroscopia No Infravermelho Próximo: Um Tutorial, Parte II.**Quim. Nova, Vol. 36, No. 7, 1057-1065.
48. Garcia, M. H. F., Farias, S. B., & Ferreira, B. G. (2004). **Determinação quantitativa da concentração de silicone em antiespumantes por espectroscopia FT-IR / ATR e calibração multivariada.** Polímeros, 14(5), 322–325.

49. Martins, J. P. A., & Ferreira, M. M. C. (2013). **QSAR modeling: um novo pacote computacional open source para gerar e validar modelos QSAR.** Química Nova, 36(4), 554–560.
50. Gowen, A. A., Downey, G., Esquerre, C., & O'Donnell, C. P. (2010). **Preventing over-fitting in PLS calibration models of near-infrared (NIR) spectroscopy data using regression coefficients.** Journal of Chemometrics, 25(7), 375–381.
51. Girard, D.A. (1989). **A fast 'Monte-Carlo cross-validation' procedure for large least squares problems with noisy data.** Numerische Mathematik, 56(1), 1–23.
52. Little, M. A., Varoquaux, G., Saeb, S., Lonini, L., Jayaraman, A., Mohr, D. C., & Kording, K. P. (2017). **Using and understanding cross-validation strategies.** Perspectives on Saeb et al. GigaScience, 6(5).
53. Xu, Y., & Goodacre, R. (2018). **On Splitting Training and Validation Set: A Comparative Study of Cross-Validation, Bootstrap and Systematic Sampling for Estimating the Generalization Performance of Supervised Learning.** Journal of Analysis and Testing, 2(3), 249–262.
54. Chen, D., Cai, W., & Shao, X. (2006). **An adaptive strategy for selecting representative calibration samples in the continuous wavelet domain for near-infrared spectral analysis.** Analytical and Bioanalytical Chemistry, 387(3), 1041–1048.
55. Ferreira,M.M.C.Quirometria:conceitos,métodoseaplicações.Campinas,SP:Editora da Unicamp,2015,493 p.ISBN:978-85-268-1471-4.
56. Næs, T. (1989). **Leverage and influence measures for principal component regression.** Chemometrics and Intelligent Laboratory Systems, 5(2), 155–168.
57. Galvão, R. K. H., Araújo, M. C. U., Martins, M. do N., José, G. E., Pontes, M. J. C., Silva, E. C., & Saldanha, T. C. B. (2006). **An application of subagging for the improvement of prediction accuracy of multivariate calibration models.** Chemometrics and Intelligent Laboratory Systems, 81(1), 60–67.
58. Dias, C.T., and W.J. Krzanowski. 2003. **Model selection and cross validation in additive main effects and multiplicative interaction models.** Crop Sci. 43:865–873.
59. Galvão, R. K. H., Araújo, M. C. U., Fragoso, W. D., Silva, E. C., José, G. E., Soares, S. F. C., et al. (2008). **A variable elimination method to improve the**

- parsimony of MLR models using the successive projections algorithm.** Chemometrics and Intelligent Laboratory Systems, 92(1), 83–91.
60. Daszykowski, M., Walczak, B., & Massart, D. L. (2002). **Representative subset selection.** Analytica Chimica Acta, 468(1), 91–103.
 61. Denham, M. C. (2000). **Choosing the number of factors in partial least squares regression: estimating and minimizing the mean squared error of prediction.** Journal of Chemometrics, 14(4), 351–361.
 62. Faber, N. M., & Rajkó, R. (2007). **How to avoid over-fitting in multivariate calibration—The conventional validation approach and an alternative.** Analytica Chimica Acta, 595(1-2), 98–106. doi:10.1016/j.aca.2007.05.030
 63. Galvão, R. K. H., Araújo, M. C. U., Silva, E. C., José, G. E., Soares, S. F. C., & Paiva, H. M. (2007). **Cross-validation for the selection of spectral variables using the successive projections algorithm.** Journal of the Brazilian Chemical Society, 18(8), 1580–1584.
 64. Rajer-Kanduč, K., Zupan, J., & Majcen, N. (2003). **Separation of data on the training and test set for modelling: a case study for modelling of five colour properties of a white pigment.** Chemometrics and Intelligent Laboratory Systems, 65(2), 221
 65. Kowalski, B. R., & Seasholtz, M. B. (1991). **Recent developments in multivariate calibration.** Journal of Chemometrics, 5(3), 129–145.
 66. Joe Qin, S., Li, W., & Henry Yue, H. (1999). **Recursive PCA for Adaptive Process Monitoring.** IFAC Proceedings Volumes, 32(2), 6686–6691.
 67. Messick, N. J., Kalivas, J. H., & Lang, P. M. (1997). **Selecting Factors for Partial Least Squares.** Microchemical Journal, 55(2), 200–207
 68. Naes, T., & Mevik, B.-H. (2001). **Understanding the collinearity problem in regression and discriminant analysis.** Journal of Chemometrics, 15(4), 413–426
 69. Mevik BH, Wehrens R (2007). “**The pls Package: Principal Component and Partial Least Squares Regression in R.**” Journal of Statistical Software, 18(2).
 70. Seipel, H. A., & Kalivas, J. H. (2004). **Effective rank for multivariate calibration methods.** Journal of Chemometrics, 18(6), 306–311
 71. Zhu, X.R., Shan, Y., Li, G.Y., Huang, A.M., and Zhang, Z.Y. (2009) **Prediction of wood property in Chinese Fir based on visible/near-infrared**

- spectroscopy and least square-support vector machine.** Spectrochim. Acta A, 74 (2): 344–348.
72. De Araújo Gomes, A., Galvão, R. K. H., de Araújo, M. C. U., Véras, G., & da Silva, E. C. (2013). **The successive projections algorithm for interval selection in PLS.** Microchemical Journal, 110, 202–208.
 73. K. Beebe, R. Pell. M. B. Seasholtz, John Wiley & Sons (1998)CHEMOMETRICS A Practical Guide.
 74. M. Forina, S. Lanteri, M. Casale, M.C. Cerrato Oliveros. **Stepwise orthogonalization of predictors in classification and regression techniques.** Chemometrics and Intelligent Laboratory Systems 87 (2007) 252–261.
 75. Silva, W. R., Paula, L. C. M., Soares, A. S., Coelho, C. J. **Algoritmo do Morcego para Seleção de Variáveis em Calibração Multivariada.** ARITHMOS, Goiânia, v. 1, n.1, p. 13-17, jan./jun. 2019.
 76. Antônio,C.C.J.**Algoritmo Evolutivo Multi-Objetivo de Tabelas para Seleção de Variáveis em Calibração Multivariada.** Dissertação de Mestrado, II-UFG,Goiânia2014.
 77. Adonias, H,D.F.**Desenvolvimento de técnicas quimiométricas de compressão de dados e de redução de ruído instrumental aplicadas a óleo diesel e madeira de eucalipto usando espectroscopia NIR”.**Tese de Doutorado,IQ-Unicamp, Campinas,2007
 78. Araujo, A.G.**Algoritmo de Projeções Sucessivas Aplicado à Seleção de Variáveis em Regressão PLS.** Dissertação de Mestrado, DQ-UFPB, João Pessoa, 2012.
 79. Araújo, M. C. U., Saldanha, T. C. B., Galvão, R. K. H., Yoneyama, T., Chame, H. C., & Visani, V. (2001). **The successive projections algorithm for variable selection in spectroscopic multicomponent analysis.** Chemometrics and Intelligent Laboratory Systems, 57(2), 65–73.
 80. A.M. DeSouza, M.C. Breitkreitz, P.R. Filgueiras, J.J.R. Rohwedder, R.J. Poppi. **Experimento didático de quimiometria para calibração multivariada na determinação de paracetamol em comprimidos comerciais utilizando espectroscopia no infravermelho próximo: um tutorial, parte II.** Quimica Nova, 36 (2013), pp. 1057-1065

81. Valderrama, Patrícia. **Avaliação de Figuras de Mérito em Calibração Multivariada na Determinação de Parâmetros de Controle de Qualidade em Indústria Alcooleira por Espectroscopia no Infravermelho Próximo.** Dissertação de Mestrado, Campinas: UNICAMP, 2005.
82. FRANCO,Camila Manara. **Determinação de hidrocarbonetos majoritarios presentes no gás natural utilizando espectroscopia no infravermelho próximo e calibração multivariada.**2008.110p.dissertação(mestrado-Universidade Estadual de Campinas, Instituto de Química, Campinas,SP.
83. Almeida,P.B.A;2013.**Uso da espectroscopia NIR e Calibração Multivariada para prospecção de olaginosas quanto as suas características de óleo e proteína.**Dissertação(mestrado)- Universidade Estadual da Paraíba/Embrapa Algodão,Campina Grande, PB 48p.
84. Tristão, J.C.R. **Emprego de espectroscopia no infravermelho e metodos quimiometricos para a identificação e quantificação de petroleos a partir de misturas de frações de diesel.**2009.122p.Tese(doutorado- Universidade Federal do Espirito Santo, Vitoria, ES.
85. Pasquini, C. (2018). **Near infrared spectroscopy: A mature analytical technique with new perspectives – A review.** Analytica Chimica Acta, 1026, 8–36.
86. Pedro, A.M.K(2004). **Determinação simultânea e não-destrutiva de sólidos totais e solúveis, licopeno e beta-caroteno em produtos de tomate por espectroscopia no infravermelho próximo utilizando calibração multivariada.** Dissertação (mestrado em físico-química)- Universidade de Campinas, Campinas, São Paulo.
87. PAULA, L. C. M. D. **Paralelização de algoritmos aps e firefly para seleção de variáveis em problemas de calibração multivariada.** Master's thesis, Universidade Federal de GOiás - Instituto de Informática, 2014.
88. Meira M, Quintella CM, Ferrer TM, Silva HRG, Guimarães AK, Santos MA, et al. **472 Identificação de adulteração de biocombustível por adição de óleo residual ao 473 diesel por espectrofluorimetria total 3D e análise das componentes principais.** 474 Química Nova 2011;34:621–4.

APÊNDICE

Nesse apêndice, é apresentado o código-fonte do programa – escrito e executável somente no ambiente computacional Matlab – do algoritmo desenvolvido para a estratégia proposta no presente trabalho.

Apêndice A - Validação cruzada com conjunto separado fixo

```
function [e,yhat]=validation_fixed_one(Xcal,ycal,Xfix,yfix,var_sel)

%[yhat,e]=validation_fixed_one(Xcal,ycal,Xfix,yfix,var_sel)
--> Validation with a separate set fixed
% [yhat,e] = validation_fixed_one(Xcal,ycal,[],[],var_sel)
--> Cross-validation leave one out
%
Nfix = size(Xfix,1); % número de amostras que serão mantidas no conjunto em cal
N = size(Xcal,1);
g = floor(0.1*N); % número de amostras que saem no processo cross_validation
yhat = zeros(N,1); % Setting the proper dimensions of yhat
fori = 1:N
% Removing the ith object from the calibration set cal =
[[1:i-1] [i+1:N]];

X = [Xcal(cal,var_sel); Xfix(:,var_sel)];
y = [ycal(cal); yfix];
xtest = Xcal(i,var_sel);
X_ones = [ones(N+Nfix-1,1) X];
b = X_ones\y; % MLR with offset term (b0)
yhat(i) = [1 xtest]*b; % Prediction for the ith object

end
e = ycal - yhat; % Cross-validation error
```

Apêndice A - Métricas de Validação

```
function [PRESS,RMSEP,SDV,BIAS,r]=validation_metrics_v2p1(Xcal,ycal,Xval,yval,var_se)

%[PRESSV,RMSEPV,SDV,BIASV,rV]=validation_metrics_v2p1(Xcal,
ycal,Xval,yval,var_sel) --> Validation with a separate set
%[PRESSV,RMSEPV,SDV,BIASV,rV]=validation_metrics_v2p1(Xcal,
ycal,Xval,[],var_sel) -->Validation with a separate set
with no reference values for y
```

```

% [PRESSCV,RMSEPCV,SDCV,BIASCV,rCV]=validation_metrics_v2p1(
Xcal,ycal,[],[],var_sel) --> Cross-validation
%
% Record of modifications:
% 08 Sept 2011 (v2):
% Allows for the use of yval = [] (no reference values)
% get(h,'XLim') modified to get(h,'xlim');
% 09 Sept 2011 (v2p1):
%     Use      of      prediction_uncertainty.m      instead      of
statistical_prediction_error.m

if size(Xval,1) > 0 % Validation with a separate set
    y = yval;
else % Cross-validation
    y = ycal;
end

[yhat,e] = validation_v2(Xcal,ycal,Xval,yval,var_sel);

if (~isempty(e))
    PRESS = e'*e;
    N = length(e);
    RMSEP = sqrt(PRESS/N);
    BIAS = mean(e);
    ec = e - BIAS; % Mean-centered error values
    SDV = sqrt(ec'*ec/(N - 1));
    yhat_as = (yhat - mean(yhat))/std(yhat); % Autoscaling
    y_as = (y - mean(y))/std(y); % Autoscaling
    r = (yhat_as'*y_as)/(N-1);
else
    PRESS = [];
    RMSEP = [];
    SDV = [];
    BIAS = [];
    r = [];
end

% Prediction uncertainty (one-sigma)
pred_unc = prediction_uncertainty(Xcal,ycal,Xval,var_sel)

if (~isempty(e))
    % Plot of Predicted vs Reference values
figure, hold on, grid
errorbar(y,yhat,pred_unc,'o')
xlabel('Reference y value'), ylabel('Predicted y value')
h = gca; XLim = get(h,'xlim');
h = line(XLim,Xlim);
title(['PRESS = ' num2str(PRESS) ', RMSEP = ' num2str(RMSEP) ', SDV = ' num2str(SDV) ', BIAS = ' num2str(BIAS) ', r = ' num2str(r)])
else

```

```
% Plot of predicted values with +/- one-sigma bars
figure, hold on, grid
errorbar([1:length(yhat)],yhat,pred_unc,'o')
xlabel('Sample'), ylabel('Predicted y value')
end
```

Apêndice A - Cálculo SPA para os conjuntos de dados

```
clear,clc,close all

Nfix = 16; %MilhoNfix = 12; TrigoNfix = 16.
g = 4; % Milho g = 3; Trigo g = 4;
%txp = 0.30; % taxa usada no conjunto milho (corresponde a
20 amostras de predição).
txp = 0.33; % % taxa usada no conjunto Trigo (corresponde a
30 amostras de predição).

Nmax = 59; % Milho Nmax = 39; Trigo Nmax = 59.

load('D:\Trabalho\Sófacles\Orientações\João\Dados\X.mat') %
local onde está os dados trigo
XNIR = X(:,351:1050);

%load('D:\Trabalho\Sófacles\Orientações\João\Dados\Milho\mi
lho1.MAT')

% 701 = 'Moistrure';
% 702 = 'Oil';
% 703 = 'Protein';
% 704 = 'Starch';

%XNIR = AllSamples_AllVariables(:,1:700);
%Y = AllSamples_AllVariables(:,701); % Umidade

Xder = derivadasG(XNIR,1,2,21); % preprocessamento milho

Ntot = size(Xder,1);
[mfix,dminmax] = ksxy(Xder,Y,Nfix); % Milho 12 amostras com
o ksxy
mdif = setdiff(1:Ntot,mfix);

% Separando as amostras fixas
Xfix = [Xder(mfix,:)];
Yfix = [Y(mfix,:)];

% amostras restantes
Xrest = [Xder(mdif,:)];
```

```

Yrest = [Y(mdif,:)];
Nrest = size(Xrest,1);

[mtot,dminmax] = ksxy(Xrest,Yrest,Nrest); % Ordenando as amostras restantes
NP = round(txp*Nrest);

mpred = mtot([round(2:(1/txp):(NP*(1/txp)))]);
m = setdiff(1:Nrest,mpred);

Xpred = Xrest(mpred,:);
Ypred = Yrest(mpred,:);
Xcal = Xrest(m,:);
Ycal = Yrest(m,:);

cont = 1;
fori = 0:g:Nfix
    [var_sel_fix{cont},var_sel_phase2_fix{cont}] =
    spa_fix_one([Xcal; Xfix((i+1):Nfix,:)],[Ycal;
    Yfix((i+1):Nfix,:)]) ,Xfix(1:i,:),Yfix(1:i,:),1,39,0); % trigo

    [PRESS_fix(cont),RMSEP_fix(cont),SDV_fix(cont),BIAS_fix(cont),
    r_fix(cont)] = validation_metrics_v2p1([Xcal;
    Xfix],[Ycal; Yfix],Xpred,Ypred,var_sel_fix{cont});
    cont = cont+1;
end

```

Apêndice A- Validação SPA com amostras fixas e figuras de mérito

```

function [var_sel,var_sel_phase2] =
spa_fix_one(Xcal,ycal,Xfix,yfix,m_min,m_max,autoscaling)

% [var_sel,var_sel_phase2] =
spa_fix_one(Xcal,ycal,Xfix,yfix,m_min,m_max,autoscaling) --> Validation with fixed sample
%
% If m_min = [], the default value m_min = 1 is employed
% If m_max = [], the default values m_max = min(N-1,K)
% (validation with a separate set)
% or min(N-2,K) (cross-validation) are employed.
% autoscaling --> 1 (yes) or 0 (no)

autoscaling
if ((autoscaling ~= 1) & (autoscaling ~= 0))
error('Please choose whether or not to use autoscaling.')
end

```

```

N = size(Xcal,1); % Number of calibration objects
K = size(Xcal,2); % Total number of variables

if length(m_min) == 0, m_min = 1; end
if length(m_max) == 0,
if size(Xfix,1) > 0
m_max = min(N-1,K);
else
m_max = min(N-2,K);
end
end

if m_max > min(N-1,K)
error('m_max is too large !');
end

% Phase 1: Projection operations for the selection of
candidate subsets

% The projections are applied to the columns of Xcal after
% mean-centering and (optional) autoscaling

ifaftoscaling == 1
normalization_factor = std(Xcal);
else
normalization_factor = ones(1,K);
end

for k = 1:K
x = Xcal(:,k);
Xcaln(:,k) = (x - mean(x)) / normalization_factor(k);
end

SEL = zeros(m_max,K);

h = waitbar(0,'Phase 1 (Projections). Please wait...');
loopStart = now;
tic
for k = 1:K
SEL(:,k) = projections_qr(Xcaln,k,m_max);
loopEnd = loopStart + (now-loopStart)*K/k;
waitbar(k/K,h,['Phase 1 ETC: ' datestr(loopEnd)]);
end
toc
close(h);

disp('Phase 1 (projections) completed !')

% Phase 2: Evaluation of the candidate subsets according to
the PRESS criterion

```

```

PRESS = Inf*ones(m_max,K);
h = waitbar(0,'Phase 2 (Evaluation of variable subsets).
Please wait...');
warning off MATLAB:singularMatrix
warning off MATLAB:nearlySingularMatrix
loopStart = now;
tic
for k = 1:K
for m = m_min:m_max
var_sel = SEL(1:m,k);
[e,yhat] =
validation_fixed_one(Xcal,ycal,Xfix,yfix,var_sel);
PRESS(m,k) = e'*e;
end
loopEnd = loopStart + (now-loopStart)*K/k;
waitbar(k/K,h,['Phase 2 ETC: ' datestr(loopEnd)]);
end
close(h);
warning on MATLAB:singularMatrix
warning on MATLAB:nearlySingularMatrix

[PRESSmin,m_sel] = min(PRESS);
[dummy,k_sel] = min(PRESSmin);

var_sel_phase2 = SEL(1:m_sel(k_sel),k_sel);
toc
disp('Phase 2 (evaluation of variable subsets) completed
!')

% Phase 3: Final elimination of variables
tic
% Step 3.1: Calculation of the relevance index
Xcal2 = [ones(N,1) Xcal(:,var_sel_phase2)];
b = Xcal2\ycal; % MLR with intercept term
std_deviation = std(Xcal2);
relev = abs(b.*std_deviation');
relev = relev(2:end); % The intercept term is always included
% Sorts the selected variables in decreasing order of
% "relevance"
[dummy,index_increasing_relev] = sort(relev); % Increasing order
index_decreasing_relev = index_increasing_relev(end:-1:1);
% Decreasing order

% Step 3.2: Calculation of PRESS values
for i = 1:length(var_sel_phase2)
[e,yhat] =
validation_fixed_one(Xcal,ycal,Xfix,yfix,var_sel_phase2(index_decreasing_relev(1:i)));

```

```

PRESS_scree(i) = e'*e;
end
RMSEP_scree = sqrt(PRESS_scree/length(e));
figure, grid, hold on
plot(RMSEP_scree)
xlabel('Number of variables included in the model'), ylabel('RMSE')

% Step 3.3: F-test criterion
PRESS_scree_min = min(PRESS_scree);
alpha = 0.25;
dof = length(e); % Number of degrees of freedom
fcrit = finv(1-alpha,dof,dof); % Critical F-value
PRESS_crit = PRESS_scree_min*fcrit;
% Finds the minimum number of variables for which
PRESS_scree
% is not significantly larger than PRESS_scree_min
i_crit = min(find(PRESS_scree<PRESS_crit));
i_crit = max(m_min,i_crit); % The number of selected
variables must be at least m_min

var_sel = var_sel_phase2(index_decreasing_relev(1:i_crit));
title(['Final number of selected variables: ' num2str(length(var_sel)) ' (RMSE = ' num2str(RMSEP_scree(i_crit)) ')'])
toc
% Indicates the selected point on the scree plot
plot(i_crit,RMSEP_scree(i_crit),'s')

disp('Phase 3 (final elimination of variables) completed !')
% Presents the selected variables
% in the first object of the calibration set
figure, plot(Xcal(1,:)); hold, grid
plot(var_sel,Xcal(1,var_sel),'s')
legend('First calibration object', 'Selected variables')
xlabel('Variable index')

```